

Gölcük Volkanik Alanının Jeomorfolojisi, Isparta - Türkiye

Geomorphology of Golcuk Volcanic Area, Isparta-Turkey

Ergin CANPOLAT¹✉

¹ Cengizhan Anadolu Lisesi, Kağıthane, İstanbul.

✉ Sorumlu yazar/Corresponding author: Ergin Canpolat / ergincanpolat@gmail.com

Makalenin Tarihçesi – Article History

Geliş / Received: 03.12.2015

Revizyon / Revised: 10.12.2015

Kabul / Accepted: 31.12.2015

ÖZET

Güneybatı Anadolu'da Isparta ve Burdur şehir merkezleri arasındaki volkanik alan; Gölcük Kalderası, kaldera içindeki ve dışındaki volkan konileri ile pomza, tüf, andezit-trakiandezit kayaçlarından oluşmuş volkanik unsurlar ile dikkat çekmektedir. Bu çalışmada; Gölcük volkanizması; jeomorfolojik özellikleri ile değerlendirilerek araştırılmıştır. Böylece volkanizmanın oluşum ve gelişim özellikleri açıklanmaya çalışılmıştır. Çalışma kapsamında XRD – SEM analizleri, OSL tarihlendirmeleri, Uzaktan Algılama ve Coğrafi Bilgi Sistemleriyle desteklenmiş olan arazi çalışmaları gerçekleştirilmiştir. Arazi, yükselti, eğim, baki özelliklerini açısından incelenmiş, topografik analizler yapılmıştır. Çalışma ile Gölcük volkanik alanındaki volkan jeomorfolojisi unsurları olan koniler, dom yapıları, vadiler, kaldera ve paleokalderalar haritalanmıştır. Çalışma sahasının 1/25000 ölçekli jeomorfoloji haritası üretilmiştir.

Yapılan araştırmalarda; volkanik faaliyetlerin, plaka hareketleri sonucunda ve özellikle sahanın Pliyosen'de tektonik açılma rejimine girmesi sonucu gerçekleştiği, volkanizmanın değişik aralıklarla 5-6 bin yıl öncesine kadar devam ettiği sonucuna ulaşılmıştır. Ayrıca volkanik faaliyet süreciyle iç içe değişik kaldera yapılarının oluştuğuna, volkanik koni ve dom yapılarının geliştiğine, bazen de ortadan kalkmasına neden olduğu ait bulgulara ulaşılmıştır.

Anahtar kelimeler: Gölcük Kalderası, volkanizma, pomza, jeomorfoloji, Isparta.

ABSTRACT

The southwest Anatolia volcanic area, between the Isparta and Burdur city centers, draws our attention with Golcuk Caldera, volcanic cones inside and outside the caldera that have pumice, tuff, and andesite-trachyandesite rocks formed from volcanic components. In this study, Gölcük volcanism is evaluated according to its geomorphological features. The volcanic formation and development properties are explained from this aspect. Within the scope of the work, we performed rock chemistry XRD - SEM analysis, OSL dating, and field studies supported by Remote Sensing and Geographic Information Systems. The land was examined in terms of the features of elevation, slope, aspect and topographic analysis. From this study, the volcanic elements in the Golcuk Volcanic area, such as volcanic cones, domes, valleys, calderas and paleo calderas were mapped. We also produced a geomorphology map at a scale of 1/25000.

Volcanic activities are a result of plate movements, and in particular are a result of entering the tectonic extensional regime of Pliocene Time. Volcanism continued in different frequencies before concluding 5-6 thousand years ago. Also through volcanic activity processes, nested caldera structures, volcanic cones and dome structures were formed, and sometimes these processes caused these volcanic structures to disappear.

Keywords: Golcuk Caldera, volcanism, pumice, geomorphology, Isparta.

1. GİRİŞ

Doğal afet türlerinden biri olan volkanizma yurdumuzda aktif olarak görülmemektedir. Ülkemiz, Sicilya adasındaki Etna Yanardağı ile son faaliyetini 1950 yılında gerçekleştiren Ege Denizi'ndeki Santorini (Thera) (Sür, vd., 2002) gibi faal volkanlarla aynı tektonik kuşak üzerinde bulunmaktadır. Bir deprem ülkesi olmamız, volkanik alanlarımız ve doğal sıcak su kaynaklarımız birlikte değerlendirildiğinde; volkanizmanın tekrar gerçekleşme olasılığının olduğu söylenebilir. Bu durum volkanik sahalarımızın özelliklerinin araştırılmasını ve volkanik arazilerin takibini gerektirmektedir. Isparta ve Burdur şehir merkezleri arasında yer alan 1,3 km yarıçapında geniş oval şekilli bir kalderaya sahip Gölcük volkanik alanı da araştırılması gereken volkanik sahalarımızdan biridir. Kaldera duvarlarının ve kaldera içindeki volkan konisinin aşınımından korunmuş ilksel görünümü volkanizmanın genliğinin kanıtıdır. Kaldera kenarlarında özellikle doğu ve kuzey kesiminde 50 metrenin üzerinde kalınlığı olan piroklastik unsurlar ve pomza istiflerinin kalınlıkları kalderadan uzaklaşıkça azalmaktadır. Volkanik istif kalderadan 45 km uzaklıkta Eğirdir Gölü taraçalarında 10-15 cm kalınlığında pomza şeridi şeklinde izlenmektedir. Bu özellik volkanizmanın patlamalı karakterine ait işaretlerdir. Piroklastik istiflerde görülen stratigrafi ve tüfitler içerisinde kırmızı renkli toprak oluşumları volkanizmanın zaman zaman kesintiye uğradığının işaretleridir.

Bu çalışmada Gölcük volkanik alanının jeomorfolojik oluşum ve gelişim özellikleri açıklanmıştır. Çalışma ile Gölcük volkanik alanındaki volkanik jeomorfoloji unsurları olan koniler, volkanik dom yapıları, vadiler, kaldera ve paleokalderalar haritalanmıştır. Çalışma sahasının 1/25000 ölçekli jeomorfoloji haritası üretilmiştir.

2. MATERİYAL ve METOT

Sahanın litolojik ve tektonik özelliklerine ilişkin diğer araştırmacılar tarafından yapılmış olan çalışmalardan da yararlanılarak 1/25000 ölçekli jeoloji haritası derlenerek CBS ortamında çizilmiştir. 1/25000 ölçekli topografya haritası sayısallaştırılmış, eş yükselti eğrilerinden 10 m çözünürlüklü sayısal yükselti modeli yapılmıştır. Uzaktan Algılama ve Coğrafi Bilgi Sistemleriyle desteklenmiş olan arazi çalışmaları gerçekleştirilmiştir. Sayısal modelleme ve haritalamalarda Coğrafi Bilgi Sistemleri (CBS) yazılımlarından ArcGIS kullanılmıştır.

Kayaç kimyasal yapısını açıklamak amacıyla çalışma sahasından alınan 2 adet numune İzmir Yüksek Teknoloji Enstitüsü laboratuvarlarında incelenmiştir. Kayaç kimyası analizleri, XRD – SEM analizi (X-ray Diffraction Measurement - Scanning Electron Microscopy / X İşinleri Kürməmimi – Tarayıcı Elektron Mikroskopu) kullanılarak mineral tanımlamaları ve şekilsel özelliklerini açıklanmaya çalışılmıştır XRD için Phillips XPERT-PRO cihazı kullanılmıştır. Ölçüm programı MPSS Powder'dır.

Gölcük volkanizmasına ait bu materyalin en son hangi aktivite dönemlerinde yüzeylenmiş olabileceğine ilişkin sonuçlara ulaşmak için OSL (Optik Uyarmalı Lüminesans) yönteminin kullanılması uygun bulunmuştur. Çalışma kapsamında çalışma sahasında 2010 yılında yapılan arazi çalışmalarında OSL tarihlendirmesi için alınan dört adet numunenin tarihlendirilmesi Ankara Üniversitesi Mühendislik Fakültesi Fizik Mühendisliği Bölümünde yapılmıştır. Bir adet numunenin yaşlandırılması ise Türkiye Atom Enerjisi Kurumu Sarayköy Nükleer Araştırma ve Eğitim Merkezi Laboratuvarında yapılmıştır (Canpolat 2014).

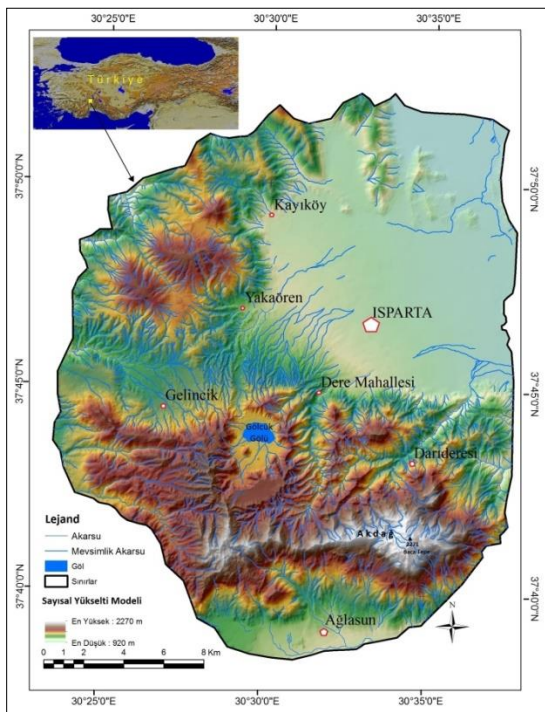
OSL (Optik Uyarmalı Lüminesans) tarihlendirme teknigi, kuvars ve feldspat gibi bazı doğal minerallerin ışıkla uyarılmasıyla açığa çıkan ışının ölçülmesi esasına dayanmaktadır. Lüminesans teknikleriyle yapılan tarihlendirmelerin önemli avantajı birkaç on yıl ile yüzbinlerce yıl (\pm 40.000 – 300.000 yıl) aralığında kuvars ve feldspat mineralleri içeren katı sedimentler için uygulanabilmektedir (Turoğlu, 2011).

Devlet Su İşleri (DSİ) tarafından üretilmiş Gölcük Gölü batimetri haritası sayısallaştırılmış göl tabanı izobatlarının profil serisi analizleri yapılmış, kaldera içindeki göl tabanının jeomorfolojik özellikleri saptanmıştır. Bu veri ve bulgular ışığında Gölcük volkanizması oluşum ve gelişim özellikleri açıklanmıştır. Çalışma ile Gölcük volkanik alanındaki volkanik jeomorfoloji unsurları olan koniler, volkanik dom yapıları, vadiler, kaldera ve paleokalderalar haritalanmıştır. Çalışma sahasının 1/25000 ölçekli jeomorfoloji haritası üretilmiştir.

3. ÇALIŞMA SAHASININ KONUMU

Çalışma sahası Güneybatı Anadolu'da Burdur ve Isparta arasında kalmaktadır. Jeolojik ve tetonik olarak ise Batı Toroslar Kırırm Kuşağı içinde kalan Isparta Büklümü veya Isparta Açısı olarak tanımlanan bölgede yer almaktadır. Gölcük volkanik alanı, $37^{\circ}38' 15''$ - $37^{\circ} 52'$

10° K ile 30° 22' 50" - 30° 38' 20" D boyamları arasındaki alanda yer alır (**Şekil 1**).



Şekil 1: Çalışma sahanının lokasyonu

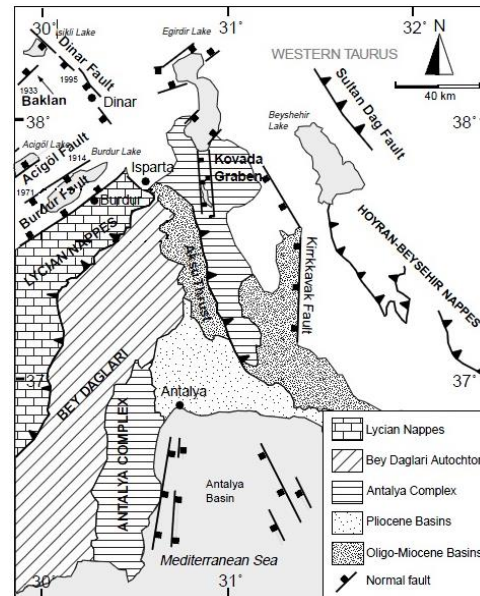
Figure 1: Location of study area

4. GÖLCÜK VOLKANİK ALANININ GENEL JEOLOJİK ÖZELLİKLERİ

Gölcük volkanik alanı litolojik birimleri; trakit, trakiandezit, andezit, volkanik tuf ve pomza serileridir. Gölcük volkanizmasına ait Pliyo-Kuaterner litolojik birimleri güneyde Triyas-Kretase yaşılı Akdağ kireçtaşları, kuzeyde Orta Eosen yaşılı filiç çökelleri, batıda yer yer aralarında Gölcük volkanitlerinin de bulunduğu Isparta ovası alüvyonları tarafından sınırlanılmaktadır. Gölcük formasyonu Pliyo-Kuaterner göl çökelleri ile aratabakalı bir özellik gösterip, kalınlığı en fazla 1000 metredir (Yalçınkaya, 1989).

Afrika levhasının Avrasya levhasının altına daldığı bölge yakınılarında yer alan Güneybatı Anadolu'da Orta ve Üst Miyosen'de başlayan kuzey-güney doğrultulu bir sıkışma rejimi gerçekleşmiştir. Sıkışma rejimi Orta Pliyosen'e kadar sürmüştür, Antalya Kenet Kuşağı'nın kapanışı, düşük ve yüksek açılı bindirmeler, yırtılma faylanması, bunlara bağlı olarak gelişmiş çeşitli nap yerleşimleri ve blok rotasyonları gibi olaylar vuku bulmuştur (Koçyiğit, 2008). Pliyosen'de ise Anadolu levhası doğu-batı yönünde olmak üzere yön değiştirmeye başlamış, Orta Torosların ucu güneye bakan bir

bükülmeye uğraşımıştır (Şengör, 1980; Poyraz, 2009). Geç Pliyosen'den itibaren sıkışma rejiminin genişleme türü bir rejime dönüşmüştür. Genişleme rejimine bağlı olarak da, Isparta Açısı (**Şekil 2**), başlıca verev atımlı normal faylanma ve ilgili depremlerin fay düzlemi çözüm diyagramlarıyla karakterize edilen yeni tektonik rejimin bilinen tip alanlarından birisi olmuştur (Koçyiğit, 2008).



Şekil 2: Isparta Açısının Genel Jeolojik ve Tektonik Yapısı (Vehaert, vd., 2006)

Figure 2: Main Geological and Tectonic Structure Of Isparta Angle (Vehaert, vd., 2006)

Kalafat, 1988; Poyraz, 2009'da yaptıkları çalışmalarında depremlerin odak noktası ve P dalgası ilk hareket yönlerinden deprem çözümlemeleri yapmıştır. Bu çalışmalarla Güneybatı Anadolu'da genişlemeli tektonizma olduğunu vurgulamıştır.

Gölcük volkanizması Pliyosen'de gerçekleşen bu gerilme rejimine bağlı olarak geisen açılma fayları ile ilgilidir. Isparta'nın kuzeyinde Gönen civarında, Isparta'nın güneyinde Bucak civarında ve Gölcük'te gerçekleşen volkanizma yaklaşık olarak Kuzey-Güney yönelikli bir fay üzerine yerleşmişlerdir (Karaman, 2000).

4.1. Pliyosen Gölcük Volkanik Formasyonları

Poisson (1977) tarafından Gölcük volkanitleri olarak tanımlanan birim, Gölcük kalderası çevresinde yer alır. Yalçınkaya (1989), birimi Pürenova formasyonu, aynı birim, Karaman (1990) tarafından Gölcük volkanitleri andezit üyesi olarak adlandırılmıştır. Koçyiğit, (2008) Gölcük kayaç topluluğunu deniz seviyesinden 1378 m yükseklikte Isparta grabeninin güney-güneybatı omuzuna

yerleşmiş, 3-4 km çapında, asimetrik bir püskürme yapısı şeklinde tanımlamıştır.

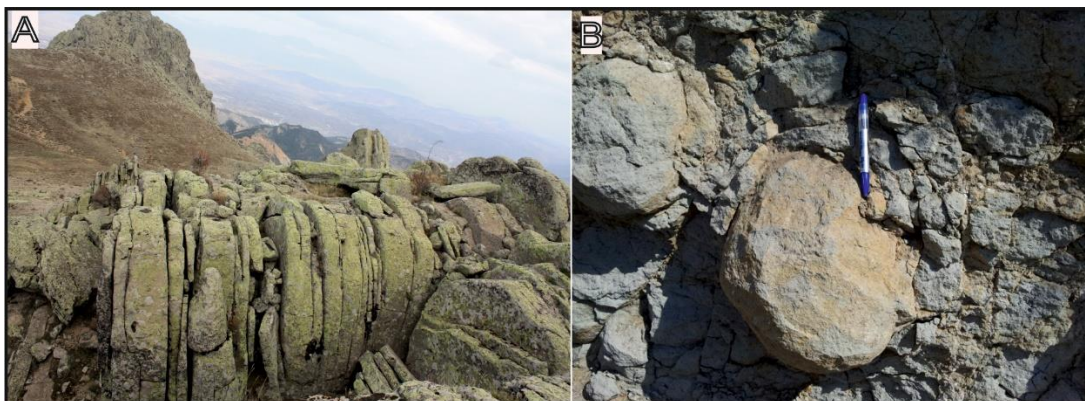
Gölcük çevresinde, bu tip kayaçlarda K/Ar yöntemi ile yapılan radyometrik yaş belirlemeleri 4-4.7 milyon yıl yaş vermektedir ve bu birimler Alt Pliosen olarak tarihlendirilmektedir (Leferve vd., 1983). Çoban (2005) Isparta yöresindeki volkanik gelişimi şöyle özetlemiştir: (I) lamprofirik (minet) daykların oluşumu (6.21 ± 0.3 my), (II) trakiandezitik-trakitik (4.6 ± 0.23 - 4.25 ± 0.21 my) ve (III) bazaltik trakiandezitik- trakibazaltik volkanizmanın gelişimi (4.07 ± 0.2 - 3.68 ± 0.5 my), volkanik patlamaya bağlı piroklastiklerin (1.5 ± 0.18 - 0.39 ± 0.2 my) ve fonolitik çember dayklarının oluşumu (0.35 ± 0.1 my).

Erol (1975)'e göre Burdur Pliosen Gölü'nün üst seviyelerinde volkanik arakatkılı tortulların da bulunması Gölcük volkanizması faaliyetlerinin Üst Pliosen'de sürdüğünü kanıtlar.

Gölcük formasyonu Pliosen volkanitleri Gölcük kalderası etrafında, Isparta ve Akdağ arasında, Çünür dolaylarında, Isparta çevresinde Hisar tepe, Kara tepe, Gilikkaya tepe, Karakaya tepe, Tepebaşı tepe, Yumru tepe, Yakarören dolayları ile Çünür dolaylarında gözlenirler. Gölcük ana kraterinin haricinde Karadağ, Hisar Tepe, Karakaya tepe gibi konilerden de bu birime

ait volkanik materyal yüzeylenmiştir (**Şekil 3a**). Bu birim gri, yeşilimsi, sarı veya açıkkahve renkli andezitik-trakitik lav, lamprofir, bazaltik trakiandezit, trakiandezit, trakit bileşimli kayaçlar, tefrifonilit ile aglomeradan ve laharlardan oluşmaktadır. Birim Ağlasun formasyonu ve Gönen çakıltaşları birimi üzerinde uyumsuz bulunurken, üstünde aynı formasyonun tuf, tüfit, pomza serileri yer almaktadır (Karaman, 2000; Özgür vd., 2008).

Trakit ve trakiandezitler, hem temel kayaçlar içerisinde yer aldığı gibi hem de temel kayaçlar içerisinde daha önceden yerleşmiş olan volkanikler içerisinde dayklar şeklinde bulunmaktadır. Bazı trakiandezitlerde amfibol, piroksen, biyotit, iri apatit, sfen, ve opak minerallerden oluşan mineral yığışları yer almaktadır. Oldukça iri kristalli K-feldspat ve plajiyoklas kristallerinden oluşan ve bunun yanında sekonder oranda sfen ve zirkon kristalleri içeren monzosyenitik anklavlara küçük yumrular şeklinde volkanikler içerisinde yer almaktadır (Elitok vd., 2008). Çünür tepesi kuzey batısında bu anklavlara örnekler görülebilmektedir (**Şekil 3b**).



Şekil 3 A: Karakaya Tepe zirvesindeki andezitler **B:** Çünür tepesi kuzey batısında trakiandezitler içerisinde anklavlara örnek.

Figure 3 A: Andesite rocks on the Karakaya peak **B:** Enclaves in trachyandesite rocks northwest of Çünür Hill.

Lahar çökelleri kaldera dışı sahada özellikle volkanik çıkışlarının kenar kesimlerinde yer almaktakta ya da dayk konumlu volkanikleri kuşatmaktadır. Lahar çökellerinin bir taraftan Gölcük volkaniklerine ait malzeme içermesi, diğer taraftan da bu volkanitler tarafından kesilmesi bu çökellerin volkanik patlama öncesi lav çıkışlarının herhangi bir aşamasında oluştularını göstermektedir. (Elitok vd., 2008).

4.2. Kuaterner Gölcük Volkanik Formasyonları

Gölcük volkanizmasının Kuaterner aktivitesi; Gölcük kalderasının kenar kesimlerinde dairesel şekilli mostra veren tefrifonolitik lav akıntıları ile bunları kesen yine aynı bileşimdeki dayklar, kaldera içerisindeki trakit domlardan oluşan kaldera içi volkanikler ile volkanik püskürme esnasında magma odasından dışarı atılmış piroklastik akma ve piroklastik döküntü çökelleriyle karakterize edilmektedir (Elitok vd. 2008).

Gölcük formasyonu Pliyo-Kuaterner göl çökelleri ile giriklik gösterir. Kalınlığı en fazla 1000 metre olduğu belirtilir (Yalçınkaya, 1989). Birim Üst Pliyosen-Pleistosen olarak kabul edilmiştir (Şenel, 1997).

Egemen kaya türü son derece hafif maddelerden oluşmuş tüf, tüfit ve pomza seviyeleri temsil eder. Bunlar arazi gözlemlerinde kirli beyaz, açık kahve, sarı ve grinin tonları arasında renkler göstermeye olup, volkanik kökenli kil, killi silt, kum ve çakıl ile yer yer blok boyutundaki tüf ve tüfitler şeklindedir. Tüf ve tüfitler çoğu zaman yatay veya yataya yakın konumlu ve iyi tabakalanmalıdır. Bunların son derece gevşek tutturulmuş olması, kolay dağılgan özelliği, rüzgâr, yağış, vb. etkilerle dar ve derin vadilerin oluşumuna imkan sağlar. Formasyonu oluşturan tüf ve tüfitler tabandan tavana doğru farklı litolojik ve sedimentolojik özellikler gösterirler. Tüfitler içerisinde kırmızı renkli toprak oluşumları yer alır (Karaman, 1990). Bu durum volkanizmanın zaman zaman kesintiye uğramasıyla açıklanabilir. Birimin üzerinde Kuaterner alüvyonları bulunur (Kuşcu ve Gedikoğlu, 1990).

Gölcük yöresi volkanik kayaçları toplam alkaliye ($\text{Na}_2\text{O}+\text{K}_2\text{O}$) karşı SiO_2 kaya sınıflama diyagramında alkali alanda bazaltik traktandezit, traktandezit, trakt, fonotefrit, tefrifonolit alanlarında dağılım sunmaktadır (**Şekil 4**). Gölcük volkaniklerinde SiO_2 (50.36-66.48 %), Al_2O_3 (14.53-19.85 %), Fe_2O_3 (0.99-7.39 %), MgO (0.05-4.52 %), CaO (0.16- 8.83 %), Na_2O (2,69-5.79 %), K_2O (2.52-7.24 %), TiO_2 (0.2-1.18 %), P_2O_5 (0.05- 0.73 %) değerleri arasında değişmektedir (Özgür vd., 2008). Yapılan SEM analizerinde, volkanik birimin tane boyları μm olup taneli yapı gösterdiği tespit edilmiştir. Bunda volkanik materyalin patlamalı karakterde olması etkili olduğu sonucuna ulaşılmıştır. XRD ve SEM analizi için G-3 numunesi Yakaören Köyü güneyinden (**Tablo 1**). G-7 numunesi ise kalderanın doğu iç yamacından alınmıştır (**Tablo 2**). Analiz sonuçlarına göre volkanik kayaçların alkali yapıda olduğu "Sodyum Potasyum Alüminyum Silikat" kimyasal bileşiminde olduğu tespit edilmiştir.

Tablo 1: G-3 Numunesi XRD analiz sonuçları
Table 1: XRD analysis result of G-3

Görünür Referans Kodu	Skor	Bileşik Adı	Ölçek Katsayısı	Kimyasal Formül
00-010-0361	30	Anorthoclase, syn	0,722	$\text{Na}0.71 \text{K}0.29 \text{Al Si}_3 \text{O}_8$
00-008-0048	52	Orthoclase	0,623	$\text{K}(\text{Al}, \text{Fe}) \text{Si}_2 \text{O}_8$
00-050-1714	13	Terranovaite	0,361	$(\text{Na}4.2 \text{K}0.2 \text{Mg}0.2 \text{Ca}3.7)$ $(\text{Al}12.3 \text{Si}67.7 \text{O}160) \cdot 29 \text{H}_2\text{O}$
00-025-0618	26	Sanidine, disordered	0,639	$\text{K}(\text{Si}_3 \text{Al}) \text{O}_8$
İndeks adı	Potasyum Sodyum Alüminyum Silikat			Empirik Formül: $\text{AlK}0.29 \text{Na}0.71 \text{O}_8 \text{Si}_3$
Kimyasal Formül	:$\text{Na}0.71 \text{K}0.29 \text{AlSi}_3 \text{O}_8$			

Tablo 2: G - 7 Numunesi XRD analiz sonuçları
Table 2: XRD analysis result of G-7

Görünür Referans Kodu	Skor	Bileşik Adı	Ölçek Katsayısı	Kimyasal Formül
00-010-0357	67	Sanidine, potassian, disordered, syn	1,084	$(\text{Na}, \text{K})(\text{Si}_3 \text{Al}) \text{O}_8$
01-074-1758	14	Dickite	0,22	$\text{Al}_2 \text{Si}_2 \text{O}_5 (\text{O H})_4 (\text{HCONH}_2)$
İndeks adı:	Potasyum Sodyum Alüminyum Silikat			Empirik Formül: $\text{AlK}0.39 \text{Na}0.61 \text{O}_8 \text{Si}_3$
Kimyasal Formül:	$(\text{Na}, \text{K})(\text{Si}_3 \text{Al}) \text{O}_8$			

Bazı iri katyonlu litofil (LIL) elementler oldukça yüksek değerlerde olup manto zenginleşmesini yansımaktadır. LIL elementler açısından zenginleşme ve negatif Nb-Ta-Ti anomalileri yay volkaniklerinin genel karakteristik özellikleri olarak bilinmektedir (Pearce, 1982; Arculus, 1987; Kelemen vd., 1993; Özgür vd., 2008).

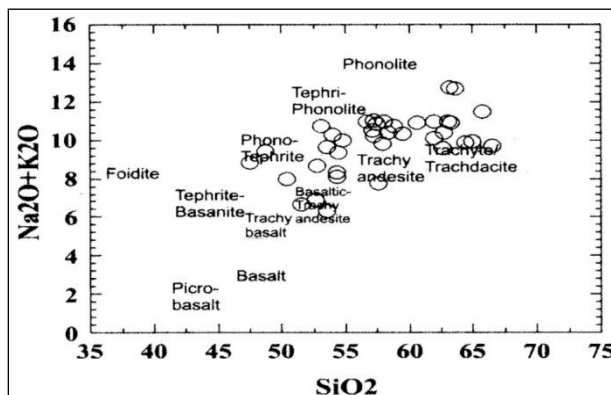
Kumral vd., 2006 tarafından Gölcük'teki Pliyo-Kuaterner alkali volkaniklerin, porfirik trakit ve ojit trakitlerin jeokimyasal özelliklerini, patlama öncesi volkanik evrimini iyi şekilde anlayabilmek için sayısal MELTS algoritması kullanılmıştır (Ghirso ve Sack, 1995). MELTS algoritmasında kimyasal varyasyonlar diğer genç serilerle karşılaştırılmıştır. Sonuçlar; iki mağma serisi olan trakit-trakiandezit ve tefrifonolitin Gölcük volkanik kayaçlarının ana kayaç türünü oluşturduğunu göstermiştir. Trakitik-trakiandezit serilerin jeokimyası ilksel yerleşik olarak klinopiroksen ve plajiyoklas bölgümleri sig derinlikteki geçici oksijen koşullarınca şekillenmiştir. Trikitik-trakiandezitik mağmanın kristalleşmesinin ojit trakit, porfirik trakit, trakit ve trakiandezit dayk mineralleriyle uyumlu klinopiroksen, plajiyoklas, alkali feldspat, biotit, apatit, ve magnetit+kuvars üretmektedir (Kumral vd., 2006).

Kuaterner dönemine ait Gölcük volkanitlerinin yaşlandırma çalışmaları diğer bir değişle tarihleştirmeye çalışmaları; Özgür ve arkadaşları (2008); Elitok ve arkadaşları (2008); Platevoet vd., (2008), Platevoet vd., 2007 tarafından gerçekleştirılmıştır. Bu çalışmalarla K-Ar

yöntemi ile tarihleştirmeler yapmışlardır. Özgür ve arkadaşlarının (2008) çalışmasında $206,1 \pm 9,8$ ka $173,0 \pm 7,4$ ka $72,2 \pm 4,7$ ka $53,5 \pm 2,7$ ka, 24 ± 2 ka tarihler elde edilmiştir. Özgür ve arkadaşları (2008); Elitok ve arkadaşları (2008); Platevoet ve arkadaşları (2008) Kuaterner volkanitlerini bu tarihleştirmelere dayanarak üç ana evreye ayırmışlardır. Bunlar: (I) Birinci püskürme evresi: altı piroklastik akma seviyesi ile temsil edilen ignimbiritik piroklastik akma çökelleri, (II) ikinci püskürme evresi: tefrifonolitik lav akıntıları-domalar, (III) üçüncü püskürme evresi: kaldera içi trakitik domalar ve piroklastik döküntü çökelleri şeklinde (Şekil 5).

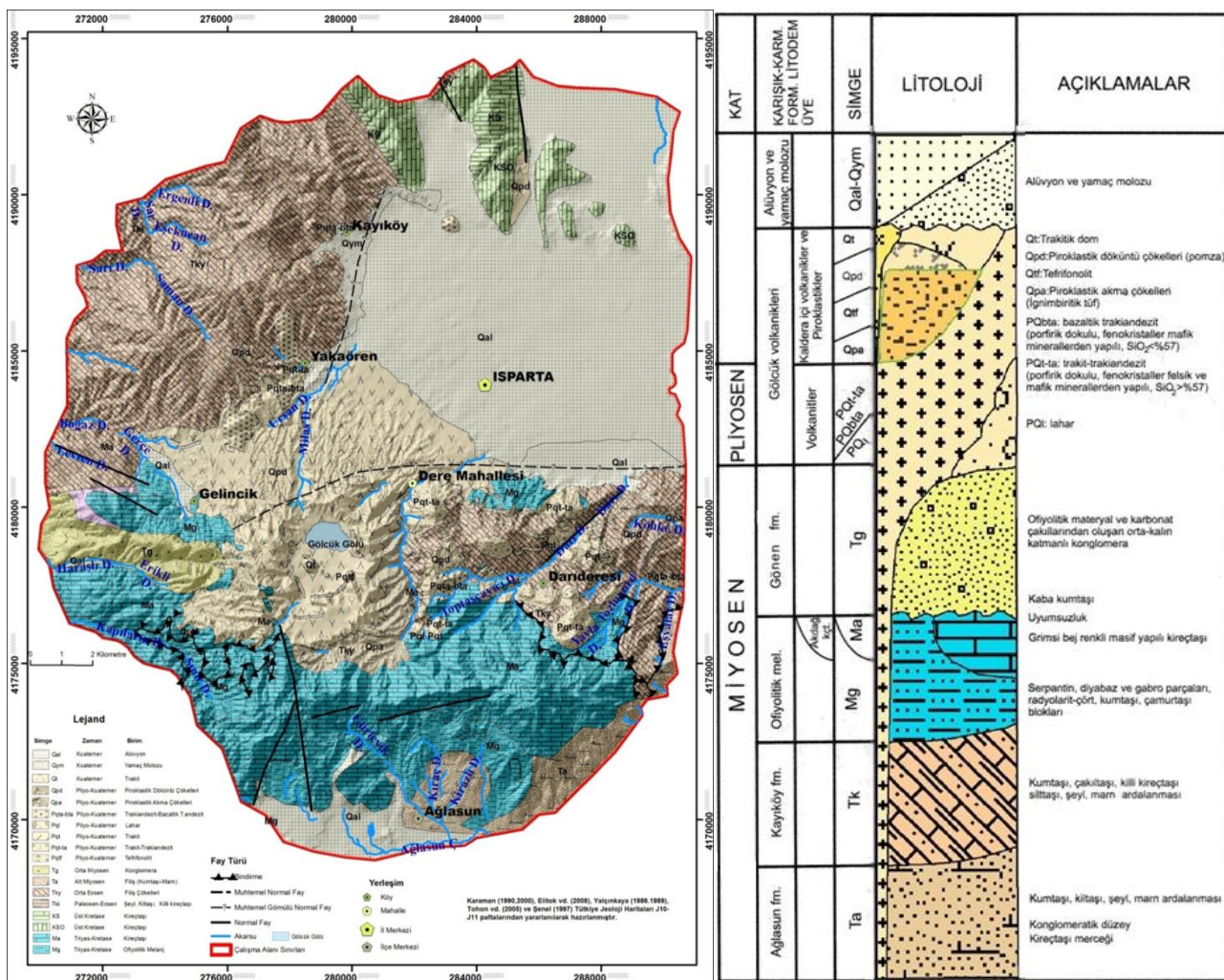
Düşme ve akma sonucu istiflenmiş olan tefranın dönerSEL izleri volkanın kuzeydoğu ve doğusunda saptanabilir (Hildenbrand vd., 1999) Bu tefra çökellerinin esleniği Gölcük Gölü'nden en uzak mesafede doğuda 46 km kuş uçuşu mesafede Eğirdir grabeninde göl taraçalarında güneybatıda 13 km kuş uçuşu mesafedeki Burdur Gölü doğusunda civarında izlenmektedir. Bu durum volkanizmanın patlamalı karakterde olduğunu bir işaretidir.

Kuaterner'in günümüze yakın dönemlerine ait litolojik unsurları ise; Gevşek tutturulmuş çakıl, blok ve çok az oranda kum ve çamur birikintilerinden oluşan eski akarsu taraça dolguları, akarsu, ova kenarlarında yaygın olarak bulunan Alüvyon yelpazeleri, blok, çakıl ve çamur birikintilerinden oluşan yamaç molozu ve birikinti yelpazeleridir. Bunlar yer yer tutturulmuş olmalarına rağmen çoğu gevşektir (Canpolat, 2014) (Şekil 5).



Şekil 4: Gölcük çevresi volkanik kayaçlarının SiO_2 - Na_2O - K_2O diyagramına göre petrokimyasal sınıflandırılması (Le Maitre, 1984; Özgür, vd., 2008)

Figure 4: Petrochemical clasification of volcanic rocks around Golcuk acording to the diagram of SiO_2 - Na_2O - K_2O . (Le Maitre, 1984; Özgür, et al., 2008)



Şekil 5: Çalışma Alanı Jeoloji Haritası ve litolojik stratigrafisi

Figure 5: Geology map of study area and lithological stratigraphy

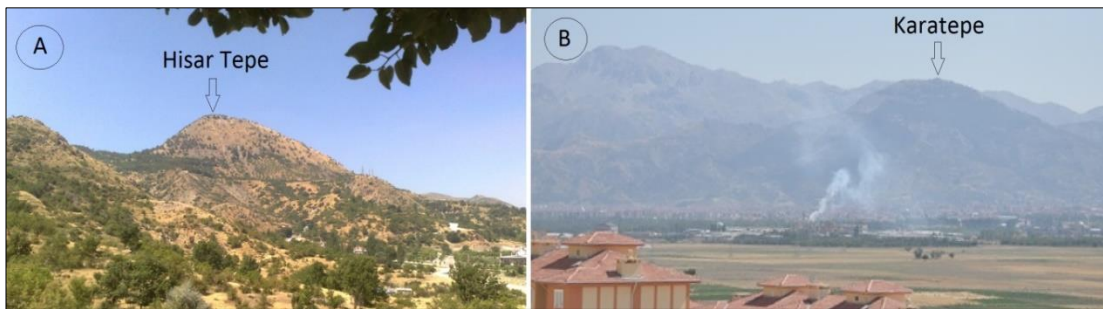
5. CALISMA SAHASININ JEOMORFOLOJİSİ

Volkanik topografya adı altında toplanan şekiller, iç kuvvetlerle dış etkenler arasındaki mücadelenin bileşkesidir. Zamanın uzunluğu, volkanik yapının kütlesi, volkanik aktivitelerin devamlılığı, volkanik yapının derinliği, söz konusu sahada aşınımın temposu ve sonucta, volkan yapısını oluşturan kayaların özellikleri gibi etkenlere bağlı olarak bu topografyada bazen iç kuvvetlerin, bazen dış etkenlerin daha ağır bastığı görülür (Erinc, 1971).

Çalışma sahasında, yukarıda değinilmiş olan faktörlerin kontrolünde gelişmiş olan başlıca yer şekilleri; volkan konileri, volkanik domlar, kalderalar, lav ve piroklastik akıntılar, volkanik temel üzerinde gelişen vadilerdir.

5.1. Volkan Konileri ve Volkanik Domlar

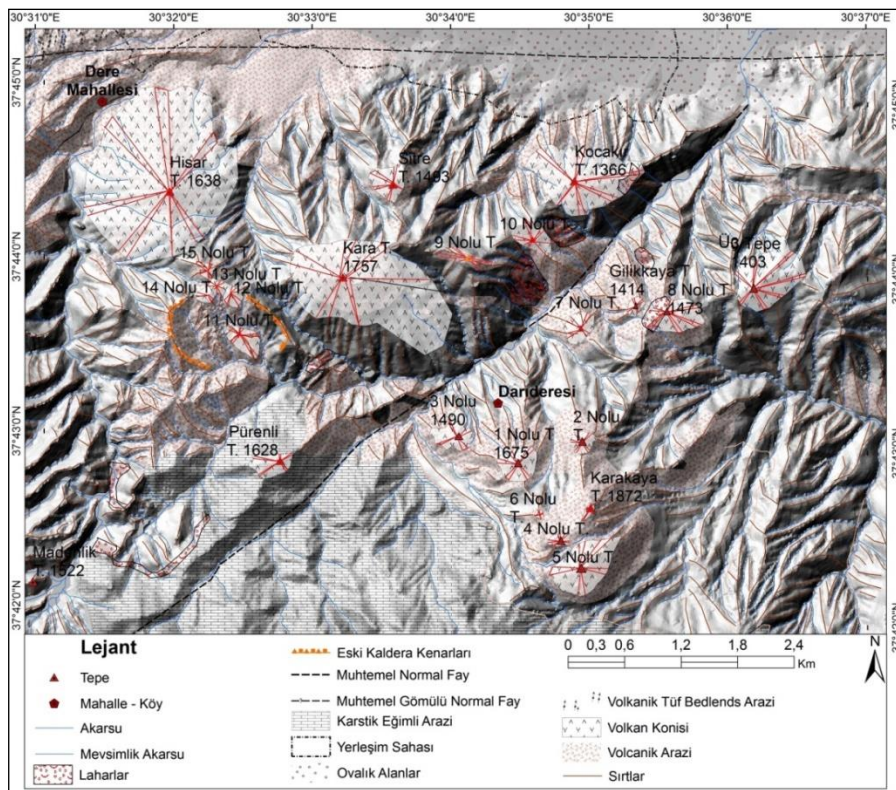
Gölcük volkanizmasının ilksel dönemlerine ait olan ve Isparta şehir merkezinin batısında yerleşmiş bulunan Hisar Tepe (1638 m) (**Şekil 6a**), Karatepe (**Şekil 6b**) haricindeki volkan konilerinde andezitler ve trakiandezitler altere olmuşlardır. Hisar Tepe, Karatepe konilerinde ise durum farklıdır. Bu koniler aşınımından daha az etkilenmişlerdir. Hisar Tepe Isparta şehir merkezi batısında Dere Mahallesi yakınında bulunmaktadır. 1638 metre zirve yükseltisi bulunan koninin kuzey yamaçlarında eğim değeri % 80'den fazladır. Pliyo-Kuaterner trakit ve trakiandezitlerden oluşmuştur.



Şekil 6 A: Hisar Tepe Konisi **B:** Karatepe Konisi
Figure 6 A: Hisar Hill Cone B: Karatepe Cone

Hisar Tepe'nin güneyinde yarıçapı Hisar Tepeden çok daha geniş olan Karatepe yer almaktadır. Karatepe'nin yükseltisi 1757 metredir. Isparta Ovası ile Hisar Tepe zirvesi arası yaklaşık 1000 m yükselti farkı vardır. Bu koninin zirve kesiminde anakaya olan andezitler çok fazla altere olmamışlar ve kayalık görüntü

sunmaktadır. Karatepe konisi ile aynı tabanı paylaşan dört adet volkan konisi daha haritalanmıştır. Bunlar; Karatepe'nin kuzeyinde 1493 metre yüksekliğinde Sitre Tepe konisi, 9 Nolu Tepe, 10 Nolu Tepe ve en kuzeyde yer alan Gülevler Mahallesi güneyindeki 1366 metre yükseltili Kocakır Tepe'dir (**Şekil 7**).



Şekil 7: Isparta batı ve güneybatısındaki volkanik alan jeomorfolojisi.
Figure 7: Geomorphology of volcanic area, west and southwest Isparta.

Isparta şehir merkezi güneybatısında yeralan Darıderesi, kuzeydoğu-güneybatı doğrultulu bir hat çizmektedir. Bu akarsu vadisinin doğusunda bulunan

1872 metre yüksekliğindeki Karakaya Tepe (**Şekil 7** ve **8**) Gölcük volkanizmasının ilk evrelerine ait bir volkan konisi

özelliğindedir. Zirvesinde andezit bloklarının oval geometrik şekiller sunmaktadır.

Hisar Tepe güneyi ile Karatepe güneybatısında bulunan 11, 12, 13, 14, 15 nolu tepeler ile Püren Tepe volkan konisi olarak tanımlanan yer şekilleridir. Bunlardan 12-13-14 nolu tepeler bir bütün olarak değerlendirilerek bir tek volkan konisi olarak gösterilmiştir (**Şekil 7**). Güneye doğru açılma yönüne sahip olduğu görülen bu birim eski bir kalderanın kenar bölümüne denk geldiği sonucuna ulaşmıştır. Bu eski kalderanın içerisinde yerleşmiş olan volkan konisi de 11 Nolu Tepe olarak adlandırılmıştır.

Karakaya Tepe'nin doğu ve kuzeydoğusunda eğim değerleri oldukça yüksektir. Bu kesimlerde % 90 civarında eğim değerleri gözlenmektedir. Karakaya Tepe'nin güneyinde bulunan ve yakın çevrede en yüksek araziyi oluşturan Akdağ kireçtaşları ile geçiş ise az bir eğim ile olmaktadır. Bu kesimde dik yamaçlar ve derin vadiler görülmemektedir. Darıderesi'ne doğru eğim koni eteklerinde % 50 - %90 arasındadır. Darıderesi Mahallesi ile Karakaya Tepe arasında 4 adet volkan konisi gözlenmiştir. Bunlar 1, 2, 3, 6 nolu tepelerdir (**Şekil 8**). Darıderesi Mahallesi güneyinde bulunan 1 ve 3 nolu konilerin volkanik materyalin etrafa dağıldığı açılma yönü kuzeybatıdır. Darıderesi Mahallesi 1 ve 3 nolu konilerin yamaçlarında kurulmuştur.



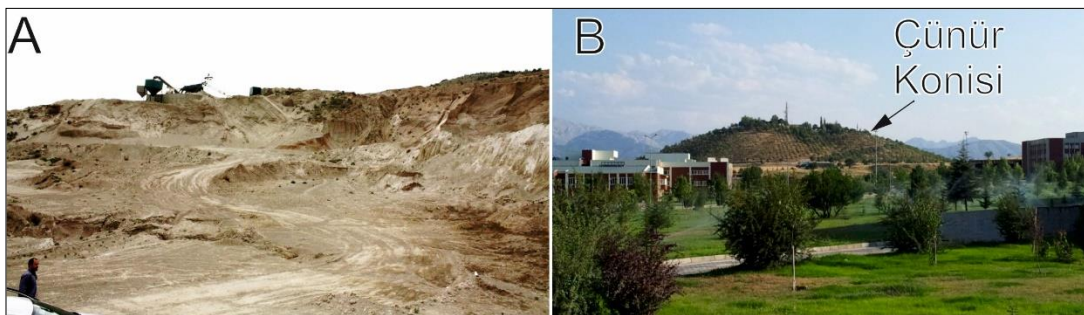
Şekil 8: Karakaya Tepe ve çevresindeki koniler

Figure 8: Karakaya Hill and around Cones

Gölcük Kalderası Kuzeyinde Yakaören Köyü yakınılarında yerleşmiş olan 4 adet volkan konisi de haritalanmıştır. Bunlar gaz çıkış noktasının güneyinde Tilkidüzü T. (1330 m), 16 Nolu Tepe ve Yumru Tepe (1400 m) ile bunların doğusunda 17 Nolu Tepe ve Çayırbeleni Tepe konileridir. Konilerin tamamında piroklastik unsurlar özellikle pomza ve andezitik unsurlar yüzeylenmiştir. Bu yöredeki pomzalar özel kurumlar tarafından işletilmektedir (**Şekil 9a**).

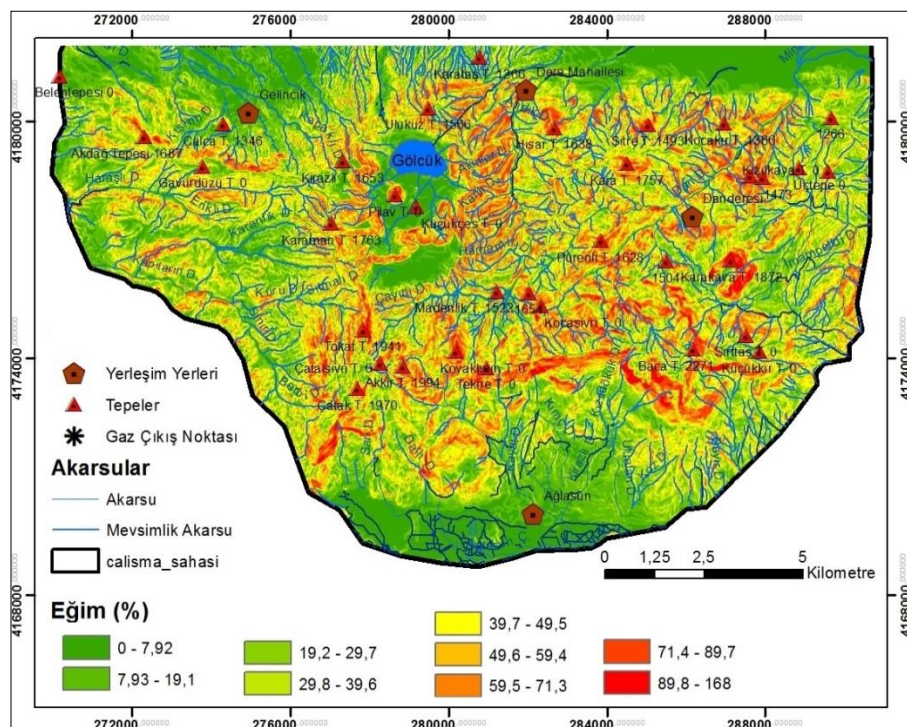
Volkanizma ile meydana gelen şekiller litolojik özelliklerden dolayı aşındırma etmen ve süreçlerinden de oldukça fazla etkilenmişlerdir. Bu yüzden piramidal koni özellikleri bulunmamaktadır. Yumru Tepe %50 eğim değerine sahipken Tilkidüzü Tepe ile 16 Nolu Tepe eğim değerleri % 30'dan daha azdır. Çayırbeleni Tepe ve hemen batısındaki 17 Nolu Tepe konileri son derece basık jeomorfolojik görüntüye sahiptir. Isparta güneyinde yer alan volkan konilerinin eğim değerleri bu kesimdeki konilerin eğim değerlerinden çok yüksektir (**Şekil 10**). Bu kesimde konilerin eğim değerleri % 20 kadardır.

Isparta'nın kuzeyinde Süleyman Demirel Üniversitesi Yerleşkesi Güneyindeki Cünür Tepesi (1091 m) bir diğer volkan konisidir (**Şekil 9b**). Cünür konisi ova tabanı üzerinde yüksekliği 80 metreyi bulmaktadır. Piroklastik cıruf ve andezitler ile anklavlardan oluşmuştur. Zirve kesiminde düzgün mevcuttur. Beşeri faaliyetler neticesinde düzluğun genişletilmiş olduğu söylenebilir. Volkan konisi yamaçları simetrik bir yapı özelliği göstermektedir. Bu konin de yamaçlarında ağaçlandırma çalışmaları yapılmıştır. Zirve kesimi mesire yeri olarak kullanılmaktadır.



Şekil 9 A: Tilkidüzü tepe ile 16 Nolu tepe arasında kurulan pomza ocağı. **B:** Çünür konisi görüntüsü Süleyman Demirel Üniversitesi doğu kampüsten görüntüsü

Figure 9 A: Pumis mine between Tilkidüzü Tepe and number 16 hill. Figure B: Çunur cone view from Suleyman Demirel University East Campus.

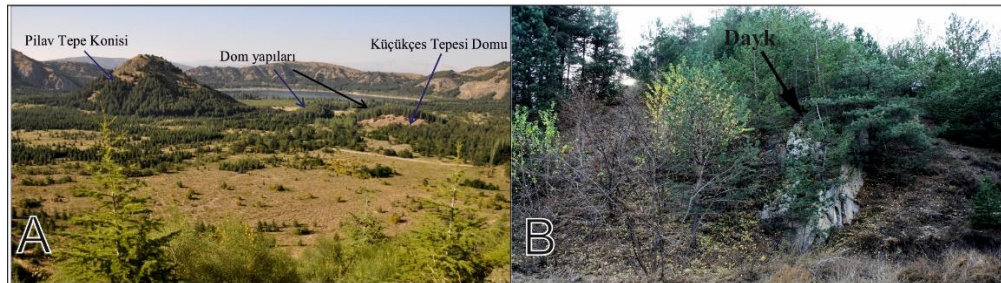


Şekil 6: Isparta Güneyi Eğim Haritası
Figure 10: Slope map of Southeast of Isparta

Gölcük Kalderası içerisinde kalderanın batı eksoninde yer alan Pilav Tepe (**Şekil 11a**; **Şekil 12**) konisi çalışma sahası içerisinde bulunan belirgin konilerden biridir. Pilav Tepe konisi dik eğimli yamaçlara sahip traktandezit ve piroklastik unsurlarda oluşmuştur. Bu koni kalderanın içerisinde etrafa en fazla hakim olunabilecek bir yükseltiye sahiptir. Pilav Tepe jeomorfolojik olarak oldukça simetrik bir volkan konisi özelliği taşımaktadır. Koninin yüksekliği 130m yarıçapı ise 230m kadardır. Koninin zirve kesiminde kısmı bir düzlik yer almaktadır. Oldukça fazla eğimli yamaçlara sahip olan volkan konisinin ağaçlandırma çalışmaları sonucunda etrafi

tabandan zirveye doğru azalan gür bitki örtüsüyle kaplıdır (**Şekil 11a**).

Gölcük Kalderası içinde gölün güneyinde toplam dört adet volkanik dom haritalanmıştır. Bunlardan biri Pilav Tepe'nin kuzeyinde üçü güneydoğusunda yer alır. Volkanizmanın son evrelerinde ve kaldera oluşumundan sonra meydana gelmiş olan bu volkanik domların yükseltileri tabandan itibaren 35 metreyi geçmez ve yarıçapları da 100m'den fazla değildir. Domlardan en büyüğü 1442 metre yüksekliği bulunan Küçükçes Tepe'dir (**Şekil 11a ve b**).



Pilav Tepe ile kontak haliinde olan bir adet volkanik dom içerisindeki andezit dayk çok belirgindir (**Şekil 11b**). Tabandan itibaren yüksekliği 30m civarındadır. Kendi içinde birkaç zirve noktası bulunmaktadır. Diğer dom yapılarında olduğu gibi bu volkanik domun da üzeri bitki örtüsü ile kaplanmıştır.

5.2. Kalderalar

Kalderalar, çok yayılmış bir görüşe göre; volkan konilerinin tepe kısımlarının şiddetli patlamalar sonucunda aşınmaları sonucu oluşmuştur. Bugün bu açıklama, ancak daha küçük kalderalar için kabul edilmekte, fakat çok büyük kalderaların bu şekilde oluşmayacakları ileri sürülmektedir. Gerçekten çapları 1,5 kilometreyi aşan kalderaların aslında volkanın zirve kısmının aşağıya doğru çökmesiyle oluşmuş olduğu kabul edilir (Erinç, 1971). Kalderalar patlama ve çökmelerin müsteşekkil etkisiyle meydana gelir. Yalnız patlamaya oluşan kalderalar nadir ve nispeten küçüktür. (Sür vd., 2002).

Çökme kalderalarının oluşumunda Van Bemmelen (1921)'e göre; 1. Hafif püskürme evresi, 2. Püskürmelerin kuvvetlenmesi ve bacadaki mağmanın seviyesinin alçalması, 3. Püskürmelerin maksimum şiddete eriştiği evre. Bu sırada birçok maddeler koni seviyesinin daha yukarısına fırlatılır. Bir kısmı ise kızgın bulutlar halinde yamaçlardan aşağılara yuvarlanır. Mağma deposundaki lav seviyesi artık çok alçalmıştır ve bunun sonucunda mağma deposunun damını oluşturan kısımda çatlaklar ortaya çıkar. 4. Volkan konisinin dayaniksız kalan tepe kısmının mağma deposu içine çökmesi ve kalderanın meydana geliş, 5. Bunu izleyen bir durgunluk evresinden sonra kaldera tabanında ve özellikle bunun kenarlarında yeni küçük konilerin oluşumu gibi evreler ifade edilmektedir (Holmes, 1965; Erinç, 1971).

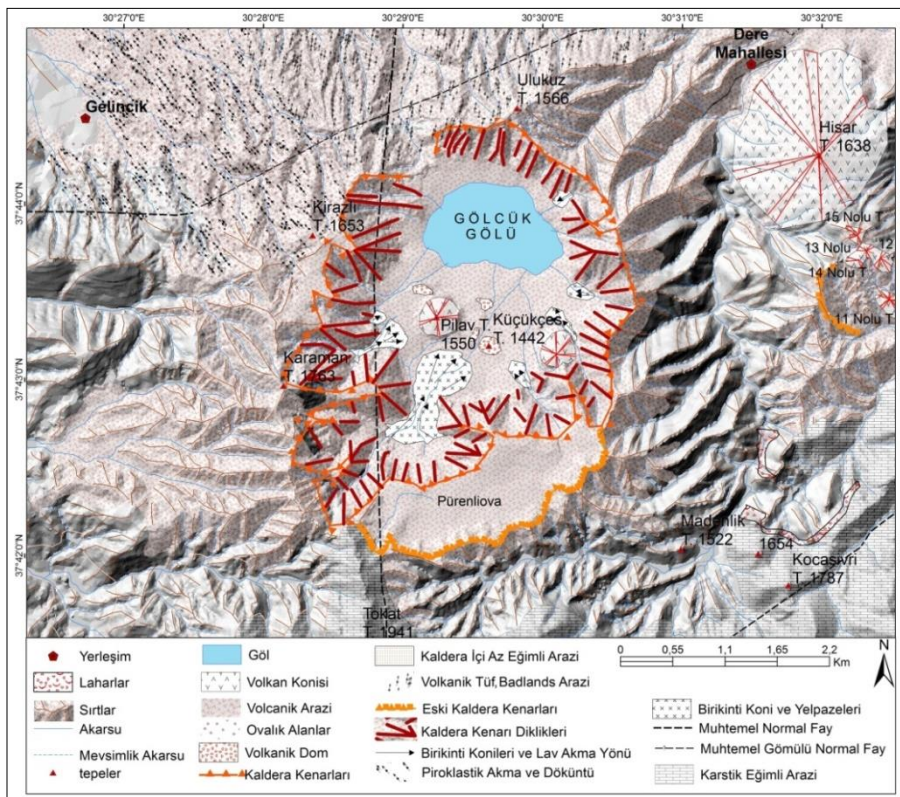
Çalışma sahasındaki en önemli jeomorfoloji birim Gölcük Kalderasıdır (**Şekil 12**). Pleistosen'de Pürenliova Paleokalderasının kuzeyinde volkanik patlama ve

çökmeler ile Gölcük kalderası oluşmuştur. Kaldera oluşumunu takiben kaldera kenarında tefrifonilitik lav akıntıları ile bunları kesen dayklar, Küçükkes Tepe gibi volkanik domalar, Pilav Tepe gibi volkan konisi oluşan önemli jeomorfolojik birimlerdir.

Yüksek bir koni olmaması ve volkanik temel sağlamasından dolayı Gölcük klasik kaldera tanımına pek uymamaktadır. Burdur Gölü sularının mağmaya etkisiyle volkanik faaliyetin yapısı değişmiş ve volkanizma yüksek bir koni oluşturmadan piroklastik malzeme çıkarmıştır. Buna ramen kaldera çevresinde görülen işinsal drenaj, burada kubbemi bir jeomorfolojik yapı olduğunu gösterirmektedir (Çiçek, 1992; Özgür vd., 2008).

Gölcük jeomorfolojik ünitesi; aşağıda belirtilen sebeplerden dolayı kaldera olanak nitelendirilmiştir;

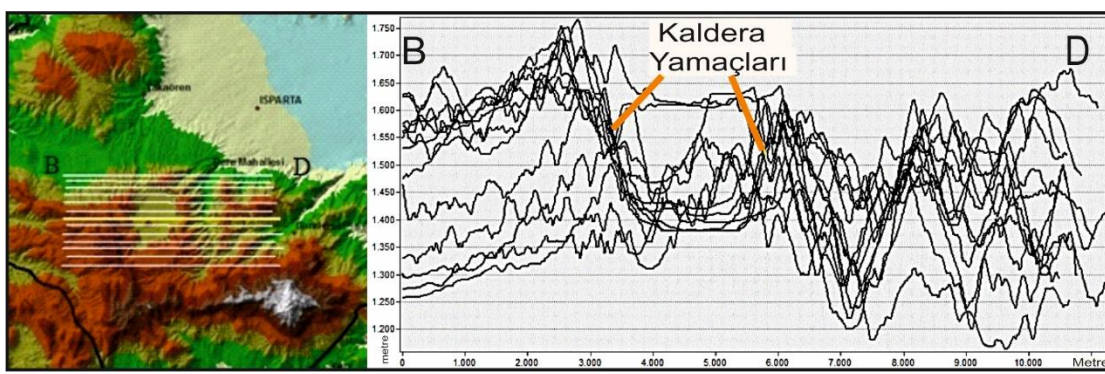
1. Depresyon çapının çok büyük olması, (Doğu-Batı eksende 2600 metre) görüntünün tamamıyla huniye benzememesi, kaldera duvarlarının iç kesiminin tamamıyla aynı diklikte olmaması, yer yer çok dik yamaçlar varken yer yer eğimin daha az olduğu yamaçların görülmesi,
2. Depresyonun kenar yamaçlarından dışa doğru gelişmiş olan işinsal drenaj şebekesinin varlığı ve yapısı, depresyonun iç kesiminde çökme ve erozyon sonucu en derin kesim olan göle doğru eğim derecelerinin az olması
3. Kaldera oluşumundan sonra devam eden volkanizma neticesinde Milas deresi tarafından yani kuzey kesimden volkanik materyalin akma ve dağılması ile yine bu yakın çevrede oluşan çok genç drenaj ağı ve badlands topoğrafya görüntüsü oluşması,
4. Gölcük volkanizmasından yüzeylenen volkanik materyalin yalnız bir patlama ile meydana gelmemesi, buna karşılık farklı evrelere ait volkanik materyalin çok uzaklara kadar taşınması gibi nedenler sayılabilir.



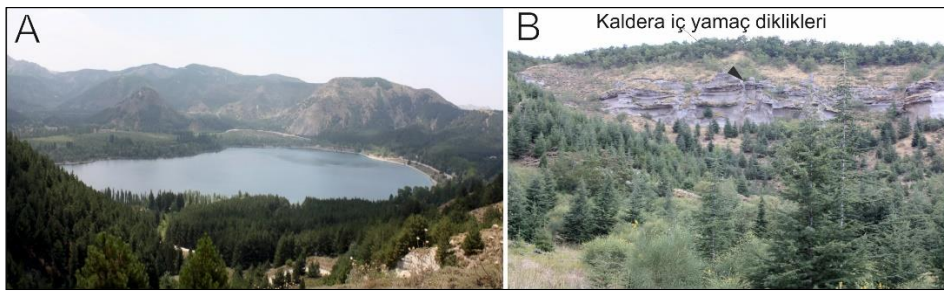
Şekil 82: Gölcük kalderası ve yakın çevresinin jeomorfolojisi.
Figure 12: Geomorphology of Golcuk Caldera and near surroundings area.

Gölcük kalderasının tabanı 2600 metre boy ve 2150 metre uzunluğundaki eni ile oval bir şeke sahiptir. Yamaç eğim değerleri % 30-70 arasındadır (**Şekil 13**). Kalderanın yamaçları ile tabanı arasında ortalama 200 metrelilik bir yükselti farkı bulunmaktadır. Yamaç materyali son derece gevşek tutturılmış pomza ve

piroklastiklerden müteşekkil olduğu gibi yer özellikle kalderanın güney yamaçların Pürenliova yakınlarında piroklastik ve pomzalar ile ardalanmalı trakit ve traktiandezit kornişleri görülmektedir. Yamaçlardaki bu kornişler çökme ve patlamanın izlerini yansıtır. Kornişlerin eğimi 90° civarındadır (**Şekil 14a ve b**).



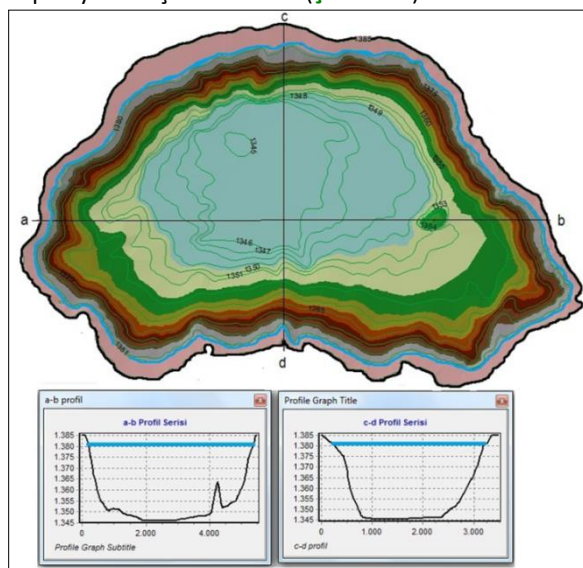
Şekil 13: Gölcük Kalderasının doğu-batı yönlü süperimpoze profili
Figure 13: Superimposed profiles across east to west of Golcuk Caldera



Şekil 94 A: Doğu yamacından Gölcük Kalderası görünüsü **B:** Kaldera iç yamaçlarındaki diklikler.
Figure 14 A: External view of Golcuk Caldera from west hillside. B: Steepness sides in caldera.

Kaldera oluşumu ardından Gölcük Gölü meydana gelmiştir. Göl su yüzeyinin yükseltisi yaklaşık 1380 metreye karşılık gelmektedir. Göl tabanının güneydoğu kesiminde kaldera içindeki volkanik domları anımsatan yaklaşık 20 m yükseltili bir oluşum batimetri haritasından okunmuştur (**Şekil 15**). Gölün maksimum derinliği 36 metredir. Gölün yüzeysel sular ile beslenme yetersizliğine rağmen su varlığını korumasının gerekçesi hidrojeoloji çalışmaları açısından önemli bir araştırma konusu olabilir.

Kalderanın güneyinde bulunan Pürenliova'nın zeminini oluşturan traktandizitler, Pürenliova'nın güneyinde ve kuzeyinde yani Gölcük Kalderası yamaçlarında kornişler ve kaldera duvarları oluşturmaktadır. Bu duvarlar Pürenliova'nın kenar kesiminde dönemsel çökme ve patlama izleri barındırmaktadır. Kaldera duvarları üzerindeki piroklastik enkaz eğim özelliği ile Pürenliova merkezine doğru kaplı depresyon oluşturmaktadır (**Şekil 16a**).



Şekil 105: Gölcük Gölü batimetri haritası (DSİ, Aralık 1978 verileri)

Figure 15: Bathymetric map of Golcuk Lake (State Hydraulic Works data of December 1978)

Pürenliova'nın, yakın çevredeki vadilerle aşırı parçalanmış arazi yapısına karşılık az eğimli depresyon özelliği, buranın geçmişte bir göl tabanı olabileceği izlenimi uyandırmaktadır.

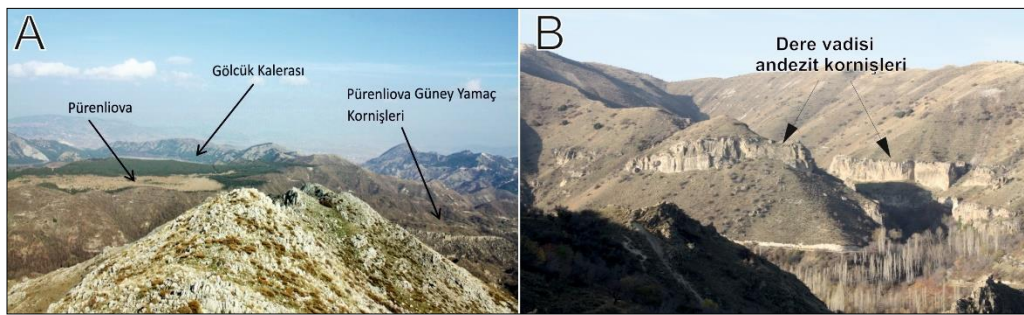
Pürenliova, sahip olduğu yükselti ile Gölcük Kalderası güney kesiminde radyal drenaj ağının merkezi durumunda bulunmaktadır. Yine kuzeydoğu kesimdeki vadilerin Pürenliova'ya doğru yönelmesi buna karşılık Gölcük Kalderası ile kesintiye uğramış olduğuna dair görüntü Pürenliova'nın ve çevresinde geçmişte yükseltisinin bugünden fazla olduğunu destekler. Bu hususlardan dolayı Pürenliova paleokaldera olarak haritalanmıştır.

Isparta'nın batı ve güneybatısında volkanizma açısından ilk evrelerde oluşturduğu düşünülen bir diğer paleokaldera ise Hisar Tepe ile Pürenli Tepe arasında yer almaktadır (**Şekil 16a**). Piroklastik unsurların oldukça fazla miktarda yüzeylendiği bu kaldera yapısında, aşınımdan dolayı jeomorfolojik özelliklerin anlaşılması güçleşmiştir.

5.3. Lav ve Piroklastik Akıntıları

Gölcük volkanizmasının her evresinde yüzeylenen volkanik malzeme gri, yeşilimsi, sarı veya açık Kahve renkli andezit-traktistik lav, lamprofir, bazaltik traktandizit, traktandizit, trakit bileşimli kayaçlar, tuf, tüfit, pomza, lapilli ve kum gibi unsurlardan oluşmaktadır (Canpolat, 2014).

Andezit, Gölcük Kalderası iç ve dış kenarlarında belirgin kornişler (**Şekil 16b**) oluşturmaktadır. Hisar Tepe, Milas deresi dolaylarında, Karatepe, Yakaören köyü civarında, ayrıca Karakaya Tepe, Kocakır Tepe gibi tepelerde yine andezit akmalarına ait izler görülmektedir. Andezit lavlarının tüflerle ardalanmalı olmaları (**Şekil 16b**), ayrıca yer dayklar oluşturarak tüfleri kesmeleri, onların farklı volkanik evrelerin ürünleri olduklarına işaret etmektedir.



Şekil 16 A: Pürenliova ile Pürenliova'nın güney yamaçlarda yer alan kornişler

B: Gölçük Kalderası doğusundaki Dere vadisinde andezit, trakiazdezit kayaçlarlar üzerindeki piroklastikler.

Figure 16 A: Pürenliova and Cornices take place at the south sides of Pürenliova.

B: Pyroclastics on andesite and trachyandesite rocks in Dere valley east of golcuk caldera.

Tabanı görülemediği için andezitik lavların kesin kalınlığını söylemek olanaksızdır. Ancak arazi ve topografya yorumuna bağlı olarak, Gölçük krateri dolaylarında andezitik lavların düşey (görünür) kalınlığının 300m den fazla olduğu kabul edilmektedir (Karaman, 1990; Elitok vd., 2008). Çalışma sahasındaki volkan konilerinin çoğundan andezitik lav akmaları olmuştur. Bu lavların içerisindeki silisyum miktarının bazalta göre fazla olması yani akıcılıklarının az olması ve çıktıkları yerde katılaşmaları, fazla mesafe kat edememeleri gibi nedenlerle andezit lav platoları kurulamamıştır. Bunda volkanizmanın çok sayıda dönem ve faz ile kesintiye uğraması da etkili olmuştur. Ancak bu süreç de konilerin yükselmesine katkı sağlamıştır.

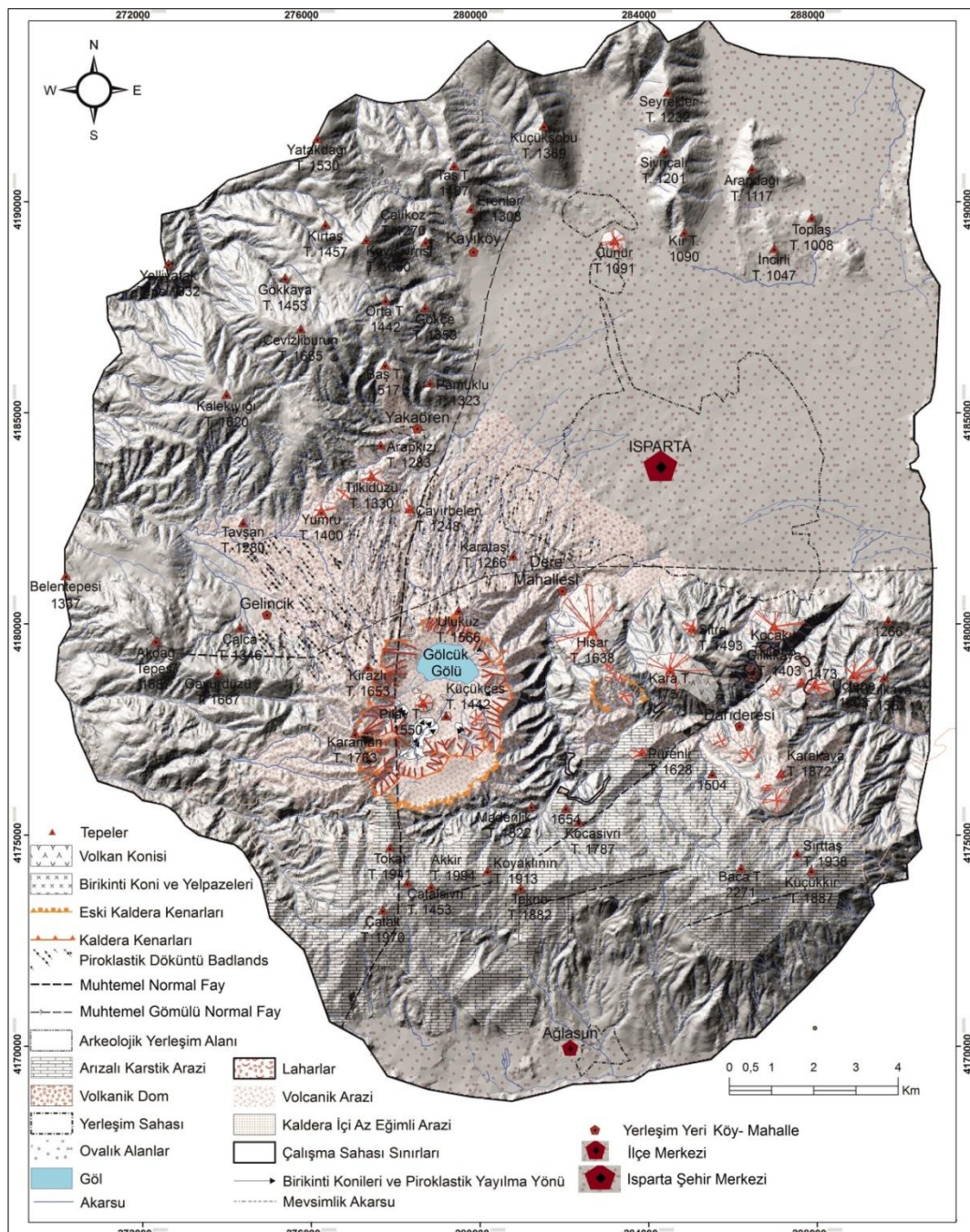
Dayklar halinde trakiandezitik kayaçlar sahanın büyük bölümünde bulunmaktadır, özellikle Pilav Tepe, Hisar Tepenin güneyinde ve batısında gözlenirler, ayrıca Yakaören çevresinde gözlenirler. Traktik-trakiandezitik kayaçlar, dayklar halinde görüldükleri gibi küçük sıvı dom yapıları da oluşturmaktadır.

Hafif volkanik malzemeden oluşan piroklastik unsurlar her volkanik evrede yüzeylendikleri gibi en son volkanik evrelerde yüzeylenmiş volkanik unsurlar arazideki varlıklarını korumaktadırlar. Tüp, tüfit ve pomza, volkanik kökenli kil, killi silt, kum ve çakıl ile yer yer blok

boyutundaki malzemelerin kalınlığı yüzeylendikleri konilerden çevreye doğru azalmaktadır. Özellikle Gölçük kalderasından uzaklaşıkça bu malzemelerin kalınlığında belirgin bir azalma olmaktadır. Isparta ovası doğu kesiminde 1 metreden az olan piroklastik materyal kalınlığı, Davras Dağı kuzey eteginde 15 cm'ye düşmektedir. Birimler volkanik akmalar veya volkanik düşmeler neticesinde, bazen de sonradan aşınım ve birikim süreçlerinden etkilenme neticesinde, çoğu zaman yatay veya yataya yakın konumlu ve iyi tabakalanmalıdır.

5.4. Vadiler

Gölçük volkanizmasını çalışma sahasının merkezi olarak kabul ettiğimizde işnالىن diğer bir ifade ile radyal akarsu ağından bahsetmek mümkündür. Çalışma sahasındaki volkan konilerinde de radyal drenaj sistemi kurulmuştur (**Şekil 17**). Gölçük volkanizmasının doğu kesiminde yükseltinin artması ve volkanik materyalin son derece gevşek yapıda olması nedenleriyle vadi derinlikleri oldukça fazladır. Profil serilerinden vadi oluşumunun çoğunlukla gençlik aşamasında olduğu anlaşılmaktadır. Dere vadisi ile Daridere vadisi çalışma sahası içerisinde en uzun ve derinlikleri en fazla olan vadilerdir (**Şekil 17**).

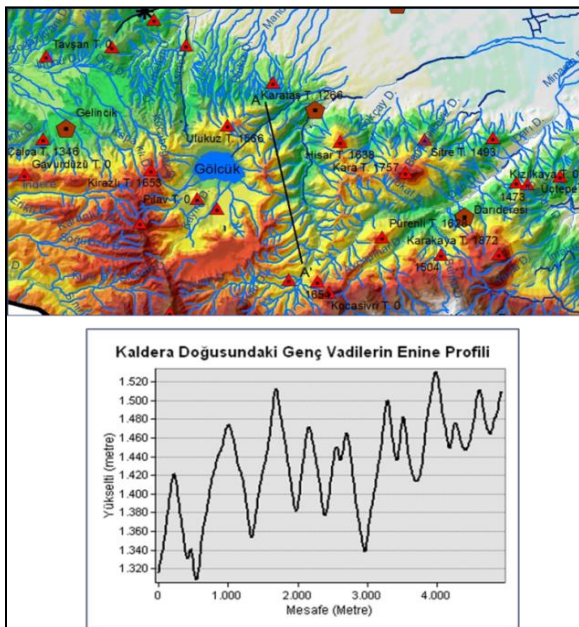


Şekil 117: Çalışma sahası Jeomorfoloji haritası
Figure 17: Geomorphology Map of the study area

Dere vadisi ile Daridere vadisi çoğunlukla volkanik malzemeden oluşmuş olan arazide yerleşmiş bulunmaktadır. Kalderanın doğu yamacında kuzeydoğu-güneybatı yönelikli dik yamaçlı derin vadiler Dere akarsuyunun kollarını oluşturmaktadır. Dere vadisi genç bir vadidir. Gölcük kalderasının doğu kesiminin dış yamaçlarında çok sayıda dik yamaçlı dar ve derin vadi görülmektedir. Bunların enine profilleri incelendiğinde

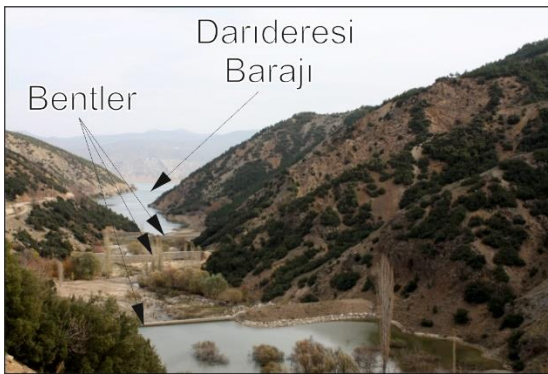
(**Şekil 18**) genç oluşumlu vadiler olduğu söylenebilir. Vadilerde andezitik korniş aflörmanlarına rastlanmakla birlikte; yamaçlar çoğunlukla piroklastik malzemelerden oluşmaktadır. Birbirine tam paralel olmayan bu vadilerin uzanış doğrultusuna bakıldığından (**Şekil 19**) bu vadilerin radyal drenaj ağının doğu ve güneydoğu kesimini oluşturduğu anlaşılmaktadır. Bunun sonucunda Gölcük kalderasının günümüz yapısı oluşmadan önce güney kesimde başka bir yükseltinin olduğu sonucu akla

gelmektedir, bu yükselti de Pürenliova paleokalderası olarak düşünülmüştür.



Şekil 128: Caldera doğusundaki vadilerin enine profilleri
Figure 18: Valleys profile series of east side of caldera.

Gölcük volkanızmasının ilksel evrelerinde oluşmuş volkanik alandaki Darıderesi vadisi kuzeydoğu-güneybatı doğrultuludur. Enine profil serilerine bakıldığından "V" şekilli genç bir vadi olma özelliği göstermektedir. Vadide fay hattı üzerine yerleşmiştir. Bu vadide Isparta ovasının sularlanması ve kullanma suyu amacıyla baraj kurulmuştur (**Şekil 20**).

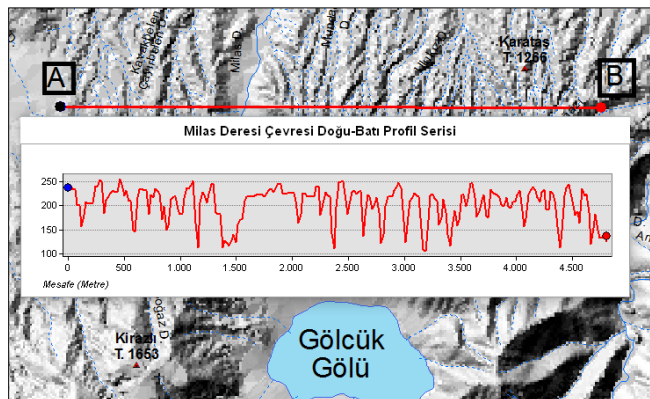


Şekil 1913: Darıderesi Barajı öncesine kurulan bentler.
Figure 19: Reservoir buildings before Darıderesi dam

Gölcük Kaderası kuzey kesiminde bulunan piroklastik düşme ve akma yüzeyinde piroklastik mateyal içerisine gömülü çok sayıda irili ufaklı ve genellikle

güneyden kuzeydoğuya bir yay çizen çok sayıda sel yarılmazı karakterli vadi kurulmuştur (**Şekil 20**).

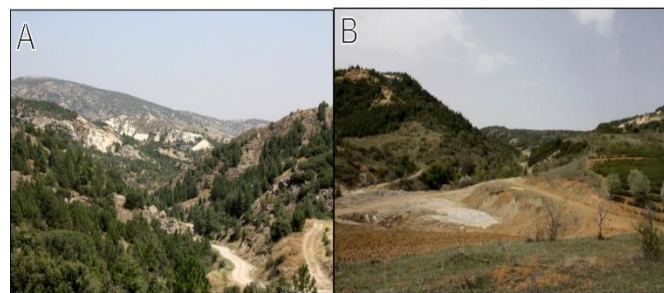
Bunlardan kuzey-güney yönü Milas deresi en belirgin olan vadidir. Milas Deresi vadisi Gölcük kalderasının açılma hattı üzerinde (**Şekil 20**) bulunmaktadır. Bu vadinin fay hattı üzerinde yer aldığı da söylenebilir. Vadiler genellikle mevsimlik akarsular ile inşa edilmiştir. Bu kesimde bulunan vadiler Isparta ovasında son bulmaktadır.



Şekil 140: Gölcük Kalderası kuzeyinde akma ve düşme piroklastik depoları üzerindeki genç vadiler.

Figure 20: Young valleys on pyroclastic flow and fall deposits at the north of Golcuk Caldera.

Yakaören Köyü batısında bulunan Büyükkükürt Deresi vadisi dephinmemiz gereken bir diğer vadidir (**Şekil 21a** ve **b**). Uyuz Pınarı mevkiinde 2008 yılında insan eliyle açılan sondaj kuyusundan yoğun gaz çıkışı olmuştur. Bu vadinin boyuna profili kısmen iç bükey bir nitelik kazanmıştır.



Şekil 151 A: Büyükkükürt Vadisinin güneybatıdan görünümü, **B:** Büyükkükürt Vadisinin kuzeydoğudan görünümü

Figure 21 A: Büyükkükürt Valley's external view from southeast. **B:** Büyükkükürt Valley's external view from northeast.

5. JEOMORFOLOJİK GELİŞİM

Isparta bükümündeki çalışma sahasında Mesozoik, Tersiyer, Kuaterner'e ait litolojik birimlerin stratigrafisi genç ve yaşlı birim dizilişleri açısından karmaşık bir görüntü sergilerler. Bu karmaşık diziliş bölgedeki tektonik hareketlerin özellikle ve volkanizmanın bazen kesintiye uğramış evreleriyle açıklanabilir.

Üst Kretase durgun derin denizel ortamında oluşan Akdağ kireçtaşları Burdigalien sonrasında inceleme alanına yerleşmiştir. Üst Paleosen-Alt Eosen'de ofiyolitik melanj Akdağ kütlesi kuzeyine yerleşmiştir.

Üst Eosen Erken Miyosen arasındaki dönemde bölgедe sıkışma rejimi devam etmiştir. Böylece nap sistemleri sıkışmanın etkisiyle Bey Dağları otoktonuna doğru ilerlemişlerdir. Bu paleotektonik dönem Langhian'da tüm tektonik birligin Beydağları otoktonu üzerine yerleşmesiyle son bulmuştur (Ersoy, 1990).

Neotektonik dönem olan Orta ve Geç Miyosen ile Pliyosen'de ise Isparta açısından tektonik hareket mekanizmasında değişiklik olmaya başlamıştır. Bu dönemde bölgедe tektonik olarak açılma rejimi başlamıştır. Bu açılma veya diğer bir ifadeyle genişleme rejimi sonucu olarak Isparta açısı; verev atımlı normal faylanma ile ilgili depremlerin fay düzlemi çözüm diyagramlarıyla karakterize edilen yeni tektonik rejimin iyi bilinen tip alanlarından biri olmuştur (Koçyiğit, 2008).

Pliyosen'de mağmanın yerkabuğuna doğru sокulması ve açılma rejimli tektonik hareketler ile meydana gelmiş doğrultu atımlı fayların olduğu kesimlerden yeryüzüne ulaşması volkanizmayı gerçekleştirmiştir. Civarda gerçekleşen depremlerin episantır odak derinlikleri 25-30 km olması volkanizmanın bu faylar aracılığıyla gerçekleştiğini göstermektedir.

Pliyosen ilksel volkanik materyalleri, Isparta ile Akdağ arasında, Göcük kalderası çevresinde Hisar Tepe, Karatepe, Gilikkaya Tepe, Karakaya Tepe, Tepebaşı Tepe, Yakaören dolaylarında ve Çünür çevresinde yüzeylenmişlerdir. Buralarda oluşmuş olan volkan konileri aşınımdan etkilenmiş olsalar bile halen varlıklarını korumaktadırlar.

Göcük Kalderası'nın güneyindeki Pürenova'da, Pliyosen volkanizmasından günümüze kadar morfolojik karakterini büyük oranda kaybetmiş olan ilksel bir kalderanın izleri bulunmaktadır. Bu kalderanın güney kesimini ve doğu kesimini derin akarsu vadiler sınırlarıdır. Kuzey ve batı kesimini ise güncel kalderanın meydana gelmesi esnasında oluşmuş kornişler sınırlarıdır.

Pliyosen'de Karatepe'nin batısında ayrıca bir kaldera oluşumu gerçekleşmiş olup, bu dönem çok sayıda volkan konisi ile temsil edilmektedir. Konilerde değişik türden yapı görülmeye ve volkanik materyallerin ardalanmalı olmaları dikkate alındığında ilksel volkanizmanın çok sayıda fazdan ibaret olduğu söylenebilmektedir.

İlksel volkan morfolojisи ünitelerinin varlığını korumasının sebebi birimin genelde gri, yeşilimsi, sarı veya açık Kahve renkli andezit-trikitik lav, lamprofir, bazltik trakiandezit, trakiandezit ve trakit bileşimli kayaçlardan oluşmasıdır. Ayrıca tefrifonilit, aglomera, laharlar, pomza serileri, tuf aralıklı olarak yer almaktadır.

Özgür ve arkadaşları (2008); Elitok ve arkadaşları (2008); Platevoet ve arkadaşları (2008), Platevoet vd., 2006 tarafından yapılan çalışmalarla ^{40}K / ^{39}Ar yöntemi ile yapılan tarihleştirmelerde Pleistosen volkanizması üç ana evre ile açıklanmıştır bunlar;

I. Evre: $206 \text{ ka} \pm 10 \text{ ka} - 173 \text{ ka} \pm 8 \text{ ka}$ arası dönemdir. Maar kraterin güney kesiminde (Pürenliova düzluğu civarında) gözlenmekte, piroklastik akma çökelleri ile doldurulmuş olan birincil kalderanın varlığına işaret etmektedir. Bu eski birincil kaldera patlamalı bir phreatoplinian olayı ile ilksel yapısını kaybetmiştir. Bu piroklastik akma çökelleri Isparta Çay vadisi boyunca, Isparta yerleşim alanı tabanında, maar kraterin hemen güneyindeki Pürenliova düzlüğü civarında yer almaktadır (Özgür vd., 2008).

II. Evre: Daha güçlü patlamalı volkanizmanın gerçekleştiği bu dönemde, evvelki Plinien volkanizmasını tefrifonlit volkanizma ve lav akması domlar ile takip etmiştir. Bu dönem $115 \text{ ka} \pm 3 \text{ ka}$ dan $62 \text{ ka} \pm 2 \text{ ka}$ arasında. Püskürme evreleri içerisinde hacimsel olarak en az oranı teşkil etmektedir (muhtemelen <10%). Tefrifonlitik dayklar, lav akıntısi-domların olduğu bu dönemde ait volkanik materyal mevut kalderadan yüzeylenmiştir (Platevoet, 2006; Platevoet vd., 2007; Özgür vd., 2008).

III. Evre: $74 \text{ ka} \pm 4 \text{ ka}$ dan $24 \text{ ka} \pm 2 \text{ ka}$ arasındaki dönemi kapsar. Bu süreçte meydana gelmiş maar tipi patlama ile önceki volkanik domlar parçalanmıştır. Bu üçüncü dönemde trakit domları oluşumu ile son bulmuştur. Maar kraterde Phreatoplinian (freatik) tipi volkanik patlamaların gerçekleştiği ve kraterin çevresindeki son tuf halkalarının olduğu dönemdir. Bu dönem maar kraterdeki trakit dom oluşumlarıyla son bulmuştur. Tefraların maksimum kalınlığı 100-150 m arasında değişmektedir. Tefraların kalınlığı maar krater kenarlarından uzaklaşıkça azalmaktır, Isparta yerleşim alanı içerisinde ve Eğirdir grabeni kenarlarında 30-100 cm kalınlığına kadar düşmektedir (Platevoet, 2006; Platevoet vd., 2007; Platevoet vd., 2008; Özgür vd., 2008).

Çalışma sahasında arazi gözlemleri sonucunda volkanik materyallerin çok uzaklara taşınmış olduğu tespit edilmiştir. Göcük volkanizmasına ait bu materyalin en son hangi aktivite dönemlerinde yüzeylenmiş olabileceği ilişkin sonuçlara ulaşmak için 5 adet numunenin OSL tarihleştirmesi yapılmıştır (**Tablo 3, Şekil 22**). Çalışma kapsamında gerçekleştirilen OSL tarihleştirmeye sonuçları değerlendirildiğinde; Göcük volkanizmasının günümüzden 20 bin yıl- 25 bin yıl

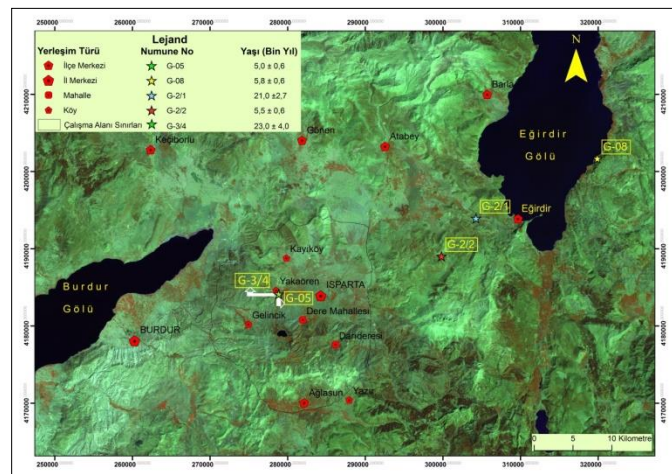
aralığında güçlü patlamalı karakterli bir yapı sergilediği sonucuna ulaşılmıştır. Bu sonuca ulaşılmasında numune alınan istif kalınlığı da etkili olmuştur. Eğirdir-Isparta yolu üzerindeki G2/1 (Şekil 23a) numunesi ile Yakaören Köyü güneyinden alınan G-3/4 (Şekil 23a ve d) numuneleri bunu desteklemektedir. Her iki numunenin aldığı yerde 30 cm'den fazla kalınlıkta volkanik istif göze çarpmaktadır. Ancak volkanik aktivite bu dönemde aralığıyla son bulmamış günümüzden 5 bin- 6 bin yıl önceki dönemde tekrar gerçekleşmiş ve yine bu dönemde Gölcük volkanızmasından oldukça uzaklara gölden yaklaşık 41 km uzakta olan Eğirdir Gölü taraçalarından anlaşıldığı üzere piroklastik materyal gönderilmiştir (G-08 numunesi Şekil 23b).

Yakaören Köyü güneyinde en üst volkanik tabakadan alınan G-05 (Şekil 24 D) numunesinden, Davraz Dağı kuzeyinden alınan G-2/2 (Şekil 23c) numunesinden ve Eğirdir Gölü doğusunda bulunan taraçadan alınan G-08 numunesinden birbirine yakın (5000-6000 yıl) tarih aralığı değerleri elde edilmiştir. Bu dönemde piroklastiklerine Burdur gölü 900-950 m yüksekliğindeki taraçalarında da rastlanılmıştır. Tüm bunlardan hareketle Gölcük volkanızmasının günümüzden 5000-6000 yıl öncesine kadar devam ettiği, çok genç bir volkanizma olduğu sonucuna ulaşılmıştır. Ayrıca ve patlamalı karakterdeki yapısıyla volkanik materyali çok uzaklara kadar gönderebileceği söylenebilmektedir (Canpolat 2014).

Tablo 3 :OSL yaşlandırması yapılan numuneler ve numune yaşları (Canpolat, 2014)

Table 3: OSL dated samples and their dates (Canpolat, 2014)

Num une	Kordinat		Eşdeğer	Yıllık Doz (Gy/bin yıl)	Yaş (bin yıl)
Kodu	X	Y	Doz (Gy)		
G-08	319529	4201681	68,1± 3,4	11,4± 0,2	5,8 ± 0,6
G-2/1	304465	4194602	109,8±5,5	5,2 ± 0,2	21,0 ± 2,7
G-05	278680	4183871	68,6 ± 3,4	13,8± 0,3 (Üst istif)	5,0 ± 0,6
G-3/4	278680	4183871		(Alt istif)	23,0 ± 4,0
G-2/2	299926	4187416	62,4 ± 3,1	11,4± 0,2	5,5 ± 0,6



Şekil 162: OSL tarih lendirmeleri için örneklerin aldığı lokasyonlar

Figure 22: Locations where samples taken for OSL dating



Şekil 173 A: G-2/1 Numunesi Isparta-Eğirdir yolu kenarı.

B: G-08 Numunesi Eğirdir Gölü doğusu. **C:** G-2/2 Numunesi Davras Dağı Kuzeyi. **D:** G-05- G-3/4 numuneleri Yakaören Köyü güneyi

Figure 23 A: Sample G-2/1 side of the road of Eğirdir-Isparta. B: Sample G-08 east of Eğirdir Lake. C: Sample G-2/2 North of Davras Mountain. D: Samples G-05 and G-3/4 south of Yakaören village.

Gölcük hem bu çalışma kapsamında yapılan yaşlandırma çalışmaları, hem de daha önceki araştırmacılar tarafından yapılan yaşlandırma çalışmaları ile jeomorfolojik gözlemler değerlendirildiğinde; beş ana etkinlik dönemi ve bu dönemlerin her birinde çok sayıda volkanik faz olarak sınıflanabilmektedir (Tablo 4).

Tablo 4: Gölcük Volkanizması ve volkanik aktivite dönemleri
Table 4: Golcuk volcanism and volcanic activity terms

Evre	Tarihleme	Litolojik-Birim-Özellik	Kaynak
1. Evre	Pliyosen-İlksel Gölcük volkanizması	Trakiandezit- traktik lavlar ve bazaltik trakiandezittik-trakibazaltik lav çıkışları, Hisar Tepe, Karatepe, Gilikkaya Tepe, Karakaya Tepe, Tepebaşı Tepe, Yakaören dolaylarında ve Çünür konilerinin oluşumu,	(Çoban, 2005); (Leferve vd., 1983); (Kazancı ve Karaman, 1988)
2. Evre	Yaklaşık 1, 5 milyon yıl önce başlayan volkanik etkinlik	Piroklastiklerin oluşumu	(Çoban, 2005)
3. Evre	Yaklaşık 200 bin yıl önce başlayan aktivite süreci	Piroklastiklerin ve fonolitik çember daykların oluşumu	(Platevoet vd., 2006); (Platevoet vd., 2008); (Özgür vd., 2008); (Elitok vd., 2008)
4. Evre	Yaklaşık 115 bin yıl önce başlayan evre; şiddetli patlama dönemi	Bu dönemde maar tipi patlama ile önceki volkanik domlar parçalanmıştır.	(Platevoet vd., 2006);(Platevoet vd., 2008);(Özgür vd., 2008) (Elitok vd., 2008)
5. Evre	20-25 bin yıl önce şiddetli patlamaya başlayan ve 5 bin yıl öncesine kadar devam eden volkanik süreç	Dom ve daykların yerleştiği volkanik püskürme neticesinde etrafa yayılan piroklastiklerin akarsu ve göl taraçalarında gözlenebildiği son dönemdir	(Platevoet vd., 2006)Platevoet vd., 2008)(Özgür vd., 2008) (Elitok vd., 2008)

4. SONUÇ

Yapılan çalışmaya Gölcük volkanizmasının tek evrede gerçekleşmediği 5 evre ve bu evrelerde değişik fazlarla meydana geldiği sonucuna ulaşılmıştır. Bu evreler; 1. Evre: Pliyosen-İlksel Gölcük volkanizması; trakiandezit- traktik lavlar ve bazaltik trakiandezittik-trakibazaltik volkanizma gelişimi, 2. Evre: Günümüzden yaklaşık 1, 5 milyon yıl önce başlayan volkanik etkinlik süreci volkanik patlamaya bağlı olarak piroklastiklerin ve fonolitik çember daykların oluşumu 3. Evre günümüzden yaklaşık 200 bin yıl önce başlayan etkinlik süreci, 4. Evre günümüzden 115 bin yıl önce başlayan evre; şiddetli patlama dönemi 5. Evre Günümüzden 20-25 bin yıl önce şiddetli patlamaya başlayan ve 5 bin yıl öncesine kadar devam eden volkanik dom ve daykların yerleştiği, volkanik püskürme neticesinde etrafa yayılan piroklastiklerin akarsu ve göl taraçalarında gözlenebildiği son evre şeklindedir.

Jeomorfolojik gözlem ve tarihleme sonucu Gölcük volkanizmasının günümüze yakın zamanlara kadar dönenmsel olarak sürdüğü sonucuna ulaşılmıştır. Yapılan OSL tarihleme yöntem bulgularına göre volkanizmanın günümüzden $5500 \pm 0,6$ bin yıl öncesinde en son aktivitesini gerçekleştirdiği sonucuna ulaşılmıştır.

Gölcük Gölünün de içinde yer aldığı geniş çukurluğun bir maar olmadığı; buranın bir kaldera olduğu bu oluşumun daha çok bir kaldera özelliği taşıdığı, kalderanın değişik zamanlarda oluşan volkanik patlama ve çökмелere günümüzdeki jeomorfolojik şeklini aldığı sonucuna varılmıştır. Gölcük ilksel volkanizmasının Gölcük kalderası güney ve güneydoğu kesiminde gerçekleşmiş olduğu, bu volkanizma evrelerine ait konilerin arazide halihazırda izler taşıdığı ve sayılarının çok fazla olduğu ifade edilebilir.

Gölcük kalderasının güneyinde yer alan Pürenliova'nın bir paleokalderanın tabanı olduğu bu paleokalderanın değişik noktalarda meydan gelen patlama ve çökmelere sonucunda kaldera görünümünde uzaklığına dair bulgulara ulaşılmıştır.

Gölcük volkanizmasına ait volkanik ürünlerin yalnız Isparta ve Burdur ovalarında değil aynı zamanda Davras Dağı kuzey kesimlerinde ve Eğirdir gölü taraçalarında bulunduğu, ayrıca bu materyallerin günümüze yakın dönemlerde istiflendiği sonucuna ulaşılmıştır. Volkanik materyalin günümüzdeki hakim rüzgâr yönünü de andıracak şekilde volkanik froman itibaren daha çok doğu ve kuzeydoğu kesimde yoğunlaşlığı tespit edilmiştir.

KATKI BELİRTME

Bu çalışma İstanbul Üniversitesi Bilimsel Araştırma Projeleri birimince desteklenmiştir. Proje Numarası: 3863.

KAYNAKÇA

Aitken, M. (1985). *Thermoluminescence dating*. England: Academic Press, 351 s.

Arculus, R. (1987). The significance of source versus process in the tectonic controls of magma genesis. *J. Volcan. Geotherm. Res.*, 32, 1-12.

Atlıhan, M. A. (2008). *Ege Çöküntü Sistemindeki Bazı Deprem İzlerinin Lüminesans Yöntemiyle İncelenmesi*. Ankara: Ankara Üniversitesi Fen Bilimleri Enstitüsü .

Bemmelen, R. V. (1929). 'Hot Caldera Probleem', De

Mijnenieur . Vereeniging Van

Ingenieurs En Geologen, Bandoeng, 10, No. 5, 101-12.

Canpolat, E. (2014). *Gölcük (Isparta) Volkanizması ve Volkanik Gaz Risk Analizi*. İstanbul: İstanbul Üniversitesi Yayınlanmamış Doktora Tezi.

Çicek, İ. (1992). Gölcük Kalderası (Isparta). *Türkiye Coğrafyası Uygulama ve Araştırma Merkezi Dergisi Sayı 2*, 137-150.

DSİ. (1978). Devlet Su İşleri Genel Müdürlüğü, Aralık 1978 Gölcük Gölü Batimetri Haritası. Anakara

Elitok, Ö., Özgür, N., & Yılmaz, K. (2008). *Gölcük Volkanizmasının (Isparta) Jeolojik Evrimi, GB Türkiye*. Isparta: TÜBİTAK.

Erinç, S. (1971). *Jeomorfoloji II Genişletilmiş 2. Baskı*. İstanbul: İ.Ü. Edebiyat Fak. Coğ. Enst. Yayınları, No:23.

Erol, O. (1975). Burdur havzası kuvatner depoları. Quaternary deposits of the Burdur Lake Basin. *Cumh. 50. yılı Yerbilimleri Kongresi 17-19 Aralık - 50 th Anniversaty of Republic Congress of Earth Sciences. 17-19 Decembre 1973*. Ankara.

Hildenbrand A., P. B.-. (1999). The shoshonitic volcanic series of Isparta Triangle, Turkey: evidence for fractionation processes in a shallow reservoir and mantle source. *EUG Strasbourg, Post-collisional Igneous symposium, terra Nova abstract*, (s. 695).

Kalafat, D. (1988). Güneybatı Anadolu ve Yakın Çevresinin Depremselligi, Aktif Tektoniği. *Deprem Araşturma Bülteni*, Sayı 63, 5-98.

Karaman, M. E. (1990, Ağustos). İsparta güneyinin temel jeolojik özellikleri. *Türkiye Jeoloji Bülteni*(30), s. 57-67.

Karaman, M. E. (2000). Tectono-Stratigraphic Outline of the Burdur-Isparta Area (Western Taurides, Turkey). *Geological Bulletin of Turkey. Volume 43, Number 2*, 71-81.

Kazancı, N., & Karaman, M. E. (1988). Gölcük (Isparta) Pliyosen Volkaniklastik İstifinin Sedimentolojik Özellikleri. *Akdeniz Univ.*

Isparta Müh. Fakültesi 5. Müh. Haftası, Bildiri Özleri Kitabı, (s. 32). Isparta.

Kelemen, P. B., Shimizu, N., & Dunn, T. (1993). Relative depletion of Nb in some arc magmas and the continental crust: partitioning of K, Nb, La and Ce during melt/rock reaction in the upper mantle. *Earth. Plan. Sci. Lett.*, 120, 111-133.

Koçyiğit, A. (2008). Ağlasun-Gölcük (Isparta) Bölgesinin Aktif Tektoniği: Neotektonik Rejimin Türü ve Sagalassos Tarihsel Depremlerinin Kaynağı. *Aktif Tektonik Araştırma Grubu Onikinci Çalıştayı*, (s. 7-8). Ankara.

Kumral, M., Çoban, H., Gedikoğlu, A., & Kilinc, A. (Sep. 2006). Petrology and geochemistry of augite trachytes and porphyritic trachytes from the Gölcük volcanic region, Isparta, SW Turkey: A case study. *Journal of Asian Earth Sciences*, 27(5), 707-716.

Kuşcu, M., & Gedikoğlu, J. A. (1990). Isparta-Gölcük Yöresi Pomza Yataklarının Jeolojik Konumu. *Jeoloji Mühendisliği*(37), 69-78.

Özgür, N., Yağmurluoğlu, F., Ertunç, A., Karagüzel, R., Görmüş, M., Elitok, Ö., et al. (2008). *Assessments Of Tectonics And Volcanic Hazards In The Area Of Isparta Around Gölcük Volcano*. Ankara: Türkiye Bilimsel ve Teknolojik Araştırma Kurumu (TÜBİTAK) Proje No: 104y213.

Pearce, J. (1982). Trace element characteristics of lavas from destructive plate boundaries: in: Thorpe, R.S. (ed.): *Andesites*. Wiley, 525-548.

Platevoet, B., Scaillet, S., Guillou, H., Blamart, D., Nomade, S., Massault, M., et al. (2008). Pleistocene Eruptive Chronology Of The Gölcük Volcano, Isparta Angle, Turkey. *Quaternaire*, 19, 2, 147-156.

Platevoet, B., Scaillet, S., Guillou, H., Nomade, S., D., B., Poisson, A., et al. (2007). Pleistocene explosive activity of the Gölcük volcano, Isparta Angle, Turkey. *Geophysical Research Abstracts*, Vol. 9, 02806.

Poisson, A. (1977). *Recherches Géologiques dans les Taurides occidentales (Turquie)*. Thèse doct.d'etat. Université Paris XI-Orsay 795.

Poyraz, S. A. (2009). *Isparta Büklümünü Oluşturan Tektonik Yapıların Sismolojik Yöntemlerle Araştırılması*. İstanbul: İstanbul Üniversitesi, Doktora Tezi (Basılmamış).

Sür, A., Ö., S., & Yiğitbaşoğlu, H. (2002). *Volkanlar, Türkiye'nin Volkanik Yöreleri ve Depremler*. Ankara: Bilim Yayınları.

Şenel, M. (1997). *Türkiye Jeoloji Haritaları Isparta j10-J11 Paftaları No:13-14*. Ankara: Maden Tetkik ve Arama Genel Müdürlüğü Jeoloji Etütleri Dairesi.

Şengör, A. (1980). Türkiye'nin neotektonığının esasları. *Türkiye Jeoloji Kurultayı Konferanslar Dizisi* S. 2, (s. 40).

Turoğlu, H. (2011 b). *Buzullar ve Buzul Jeomorfolojisi*. İstanbul: Çantay Kitapevi.

Vehaert, G., Thon, D., Vandycze, S. S., & Muchez, P. (2006). Different stress states in the Burdur-Isparta region (SW Turkey)

since Late Miocene times; a reflection of transient stress regime. *Journal of Structural Geology* 28, 1067-1083.

Wintle, A. (1997). Luminescence dating: laboratory procedures and protocols. *Radiation Measurements*, 769-817.

Yalçınkaya, S. (1989, Haziran). Isparta-Ağlasun (Burdur) Dolaylarının Jeolojisi. İstanbul: İstanbul Üniversitesi Fen Bilimleri Enstitüsü Doktora Tezi (Yayınlanmamış).